



بررسی های کانی شناسی، زمین شیمی و میانبارهای سیال در کانسار مس آق دره، منطقه طارم، شمال غرب ایران

سیامک صانع دوست^{۱*}، صمد علیپور^۱، مهدی حسینی^۲

۱- گروه زمین شناسی، دانشکده علوم پایه، دانشگاه ارومیه، آذربایجان غربی، ایران
۲- گروه زمین شناسی، دانشکده علوم پایه، دانشگاه بین المللی امام خمینی (ره)، قزوین، ایران
(دریافت مقاله: ۹۹/۴/۱۴، نسخه نهایی: ۹۹/۶/۱)

چکیده: کانسار مس آق دره بخشی از پهنه طارم در ۲۵ کیلومتری شمال ابهر است. دگرسانی های سیلیسی، آرژیلیک و پروپلیتیک در منطقه رخ داده است و آندزیت ها و رگه های سیلیسی در بردارنده کانی های سولفیدی میزبان کانه زایی بوده اند. کالکوپیریت و پیریت کانی های اصلی درونزاد هستند که با مقادیر کمتر گالن در باطله سیلیسی طلا و نقره را همراهی کرده اند. مهم ترین کانی های برونزاد مالاکیت، آزوریت و گوتیت بوده اند. گالن عامل همبستگی سرب و روی بوده و همبستگی مس و آهن با همبرزایی کالکوپیریت و پیریت توجیه پذیر است. غنی شدگی نسبی عناصر سنگ دوست بزرگ یون (LILE) و عناصر خاکی نادر سبک (LREE) و تهی شدگی نسبی عناصر با شدت میدان بالا (HFSE) تشکیل ماگمای اولیه در محیط فرورانشی، آلیش آن با پوسته قاره ای و ایجاد سنگ های آتشفشانی آهکی-قلیایی را تایید می کند. برپایه ریزدماسنجی میانبارهای دوفازی مایع+بخار (L+V)، کانی سازی در دمای ۱۴۰ تا ۲۷۰ درجه سانتی گراد از سیالی با شوری ۰/۷ تا ۱۱ درصد وزنی معادل NaCl از طریق جوشش، آمیختگی و سردشدگی رخ داده است. کانسار آق دره از نوع فراگرمایی رگه ای است و احتمال کانی سازی مس پورفیری در بخش های زیرین منطقه وجود دارد.

واژه های کلیدی: کانه زایی، زمین شیمی، میانبار سیال، مس، آق دره، طارم.

مقدمه

[۴، ۵]. وجود آثار معدنی متعدد و کارگاه های کوچک و بزرگ زاج پزی و سرباره های ذوب مس و همچنین وجود نهشته ها و معادن متروک و فعال مس، سرب و روی در پهنه طارم (مانند معادن کردکندی، گلیجه، دهنه، کوهیان، علی آباد موسوی، شاه علی بیگلو، سنجد، چرمالو، مس بولاغی، زه آباد، یمنان، شیزر، چودرچای و نهران) بیانگر سابقه طولانی معدن کاری در این مناطق است [۵]. پژوهش های انجام شده در پهنه طارم، رخدادهای و کانه زایی های متعددی از جمله کانسار فراگرمایی باریک آب [۶]، نهشته مس ماری [۷]، کانسار فراگرمایی با سولفیدشدگی متوسط گلوچه [۸] و کانسار مس - طلاي خلیفه لو [۹] را در این منطقه معرفی نموده اند. از معروف ترین کانسارهای مس طارم می توان به سه کانسار چیزه، آق دره و

ایران از نظر کانه زایی مس، از پتانسیل خوبی برخوردار است. کانسارهای مهم کشور بیشتر در شش منطقه ساختاری ارومیه- دختر، البرز غربی، کویر سبزوار، سیلان، لوت و مکران واقع هستند [۱]. مهم ترین منابع مس ایران کانسارهای سولفیدی و اکسیدی هستند [۲]. هرچند منطقه آتشفشانی ارومیه-دختر مهم ترین پهنه کانسارسازی مس و میزبان بزرگترین کانسارهای مس پورفیری است [۳]، ولی وضعیت ویژه زمین شناسی ساختاری و حضور دگرسانی های گسترده و گسترش توده های نفوذی اسیدی تا حدواسط در پهنه طارم سبب شده است تا این منطقه از مناطق مستعد برای کشف پتانسیل های معدنی و دربرگیرنده نهشته ها و کانسارهای فلزی، به ویژه مس باشد

یهمقان اشاره کرد [۲]. کانسار مس آق دره قسمتی از پهنه طارم واقع در گستره نقشه چارگوش ۱:۲۵۰۰۰۰ زنجان [۱۰] و نقشه زمین شناسی ۱:۱۰۰۰۰۰ اهر است. منطقه مورد بررسی در گستره جغرافیایی ۲۰' ۴۹° تا ۲۲' ۴۹° عرض شمالی و ۱۹' ۳۶° تا ۲۱' ۳۶° طول شرقی، در ۸۵ کیلومتری شرق زنجان و ۲۵ کیلومتری شمال اهر واقع است. از نخستین بررسی های انجام شده در منطقه تهیه نقشه زمین شناسی ۱:۲۵۰۰۰۰ زنجان توسط هیرایاما و همکاران بوده است [۱۱]. چند گزارش در مورد نهشته ها و کانسارهای منطقه طارم منتشر شده [۱۲-۱۴] و دگرسانی های منطقه توسط پیروان [۱۵، ۱۶] بررسی گردیده است. کانی سازی های سرب، روی و مس مناطق شمال غرب زنجان و خاورمیانه توسط حاج علیلو [۱۷] و زمین شناسی اقتصادی کانسار چندفلزی طارم توسط جهان دیده کاظم پور [۱۸]، بررسی شده است. در این پژوهش، ویژگی های کانه زایی، زمین شیمی و شرایط دما و شوری سیال کانه ساز کانسار مس آق دره بررسی و نوع و عمق تشکیل کانسار تعیین شده است. یافته های این پژوهش می تواند عوامل موثر در توزیع زمانی و مکانی را برای بررسی های بعدی در پهنه طارم معرفی کند و به عنوان نمونه ای برای پی جویی های آتی در نظر گرفته شود.

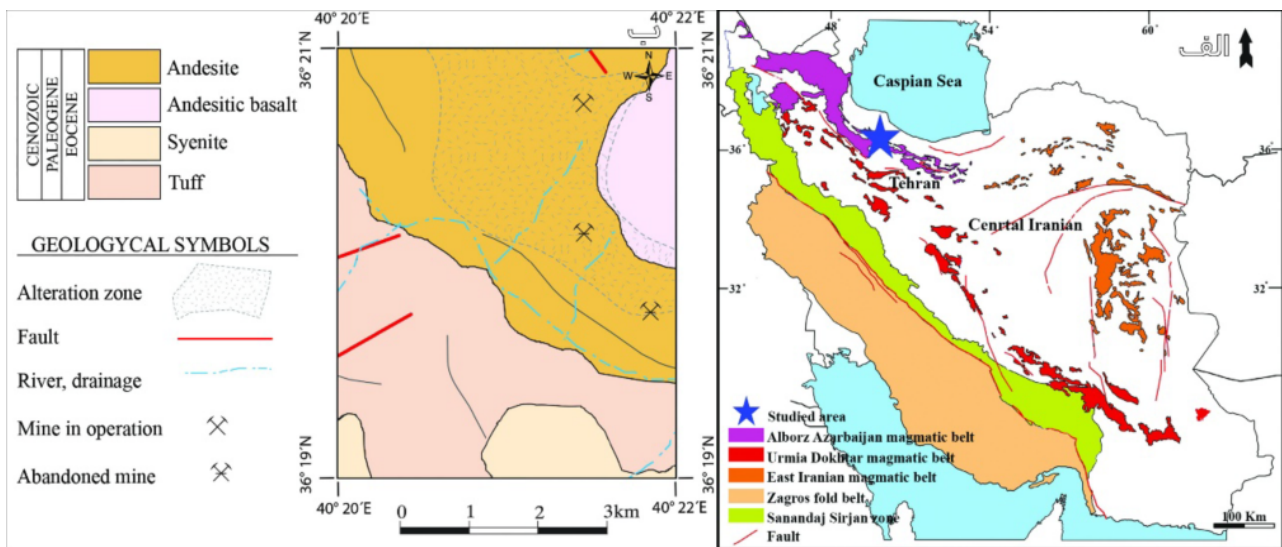
روش بررسی

در این پژوهش، بررسی ها در دو بخش صحرایی و آزمایشگاهی انجام شد. در بخش صحرایی، با پیمایش منطقه، از واحدهای سنگی، گستره های دگرسانی و کانی سازی ها نمونه برداری شد. در بخش آزمایشگاهی، نخست ۲۲ مقطع نازک از نمونه های سنگی دگرسان و غیردگرسان و ۱۸ مقطع صیقلی از رگه های کانه زای برای بررسی های سنگ نگاری و کانی نگاری تهیه شده و در آزمایشگاه های دانشگاه تربیت مدرس تهران و دانشگاه بین المللی امام خمینی^(۵) قزوین، با میکروسکوپ قطبشی با نور عبوری و بازتابی بررسی شدند. سپس، برای تعیین فازهای کانیایی و شناسایی دقیق ترکیب شیمیایی کانی ها، تعداد ۱۳ نمونه به روش پراش پرتو ایکس؛ (XRD) با دستگاه Philips-Xpert Pro و تعداد ۳ نمونه به روش ریز پردازش الکترونی (EPMA) با دستگاه Cameca SX100 همراه با میکروسکوپ الکترونی BSE شدند تعیین مقادیر کمی اکسیدهای اصلی، عناصر فرعی و کمیاب، تعداد ۱۳ نمونه به روش طیف سنجی فلئورسانس پرتو ایکس (XRF) با دستگاه

Philips-Magicx Pro و ۱۷ نمونه به روش طیف سنجی جرمی پلاسما جفت شده القایی (ICP MS) با دستگاه Agilent 7900 با توانایی اندازه گیری ۵۸ عنصر در مرکز تحقیقات فرآوری مواد معدنی ایران تجزیه شدند. داده های زمین شیمی با استفاده از نرم افزار SPSS (بر پایه ماتریس همبستگی پیرسون و تجزیه خوشه ای وارد^۱) و تغییرات عناصر کمیاب توسط نرم افزار GCDKit بررسی گردیدند. همچنین برای بررسی ویژگی های فیزیکی شیمیایی سیال کانه ساز، نمونه های کوارتزی همزیست کانی زایی، که بهترین معرف برای شرایط تشکیل کانی ها هستند [۱۹]، از رگه و رگچه های سیلیسی کانسار مس آق دره انتخاب شده و در آزمایشگاه دانشگاه تربیت مدرس تهران مقاطع دوبر صیقلی آنها تهیه و سنگ نگاری گردید. سپس، تعداد ۷ مقطع انتخاب و در آزمایشگاه ریزدماسنجی مرکز تحقیقات مواد معدنی ایران، برای ۴۹ میانبار سیال، ریزدماسنجی شد. در این بررسی ها، از صفحه های منجمد کننده و گرمایشی لینکام مدل THMS 600 استفاده شد که بر میکروسکوپ زایس نصب گردیده و با استانداردهای غیرآلی مرک واسنجی شدند. این تجهیزات توانایی اندازه گیری دما در گستره ۱۹۶- تا ۶۰۰+ درجه سانتی گراد را دارند و دقت اندازه گیری ها با استفاده از آن هگزان، برای انجماد تا ± 0.2 درجه سانتی گراد و با استفاده از نیترا ت سزیم، در برای گرمایش تا ± 0.6 درجه سانتی گراد است. به دلیل احتمال تخریب میانبارهای سیال طی گرمایش، ریزدماسنجی با انجماد آغاز شد. مقادیر شوری و چگالی میانبارهای سیال در سامانه $H_2O-NaCl$ با استفاده از افزونه HokieFlincs- $H_2O-NaCl$ [۲۰، ۲۱] در صفحه گسترده اکسل محاسبه شد.

زمین شناسی و سنگ نگاری

بر اساس تقسیم بندی پهنه های ساختاری ایران، پهنه طارم در بخش غربی و مرکزی کمربند ماگمایی البرز-آذربایجان [۲۲، ۲۳] و یا در بخش غربی البرز مرکزی [۲۴] جای دارد (شکل ۱-الف). پهنه طارم یک کمان ماگمایی مرکب از نهشته های آتشفشان های ائوسن بوده که در معرض توده های نفوذی الیگوسن قرار گرفته [۲۳، ۸] (شکل ۱-ب) و فعالیت گرمایی، برشی و کانی زایی در آن گسترش یافته است [۲۳].



شکل ۱ الف) نقشه تقسیمات پهنه‌های ساختمانی ایران برگرفته از مراجع [۲۷-۲۵] با تغییرات و جایگاه منطقه مورد بررسی بر آن، ب) نقشه ساده شده زمین‌شناسی منطقه مورد بررسی بر گرفته از مرجع [۸] با تغییرات.

سیلیسی شده هستند که نتایج بررسی آنها در ادامه بیان می‌شود.

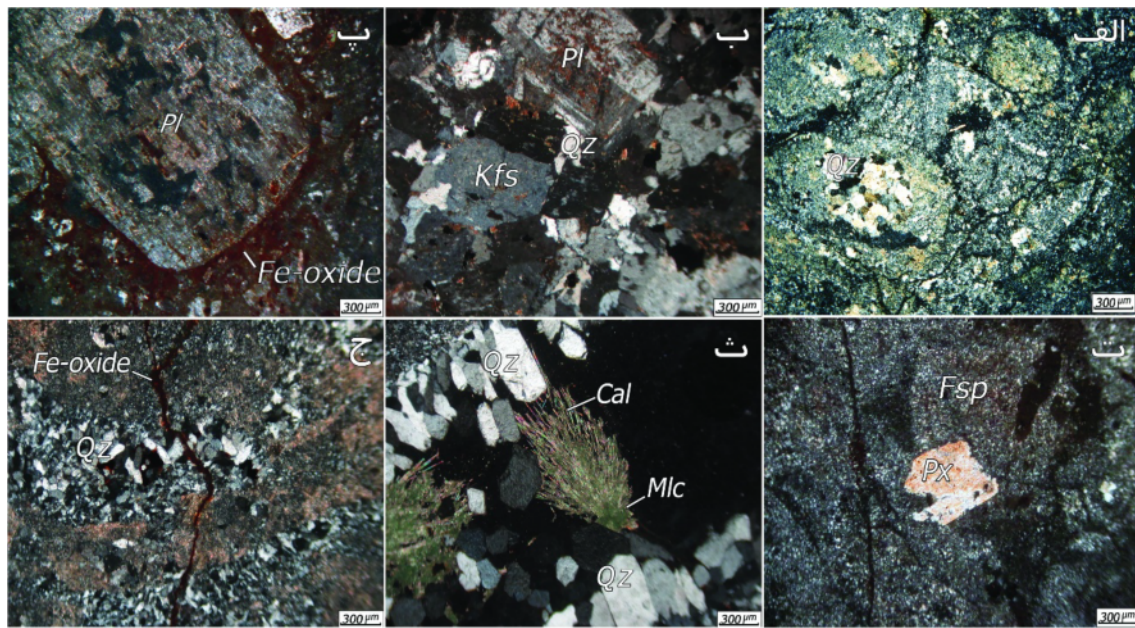
توف به طور گسترده در مرکز منطقه و بیشتر به صورت دگرسان شده و همراه با کانی‌زایی وجود دارد. بافت شیشه‌ای جریانی و جوش خورده آن گاهی با ترک‌های پرلیتی همراه است (شکل ۲ الف). این واحد آذرآواری بیشتر شامل بلورهای کوارتز و پلاژیوکلاز در زمینه‌ای شیشه‌ای است.

سینیت به طور محدود در جنوب منطقه، با رنگ کرم همراه لکه‌های سفید و بافت پورفیری مشخص است. کانی‌های اصلی فلدسپار پتاسیم با فراوانی تقریبی ۷۰٪، پلاژیوکلاز با فراوانی حدود ۲۰٪ و هورنبلند با بافت دانه‌ای در سنگ حضور دارند (شکل ۲ ب). کوارتز با فراوانی کمتر از ۵٪ و کانی‌های مافیک با فراوانی حدود ۲٪ به صورت بلورهای ریز با بافت پراکنده دانه درون زمینه دیده می‌شوند.

آندزیت فراوان‌ترین سنگ آتشفشانی در شمال منطقه است و رنگ سفید مایل به خاکستری و بافت پورفیری دارد. با این سنگ کانی‌زایی مس همراه است و کانی‌های اصلی آن شامل پلاژیوکلاز و هورنبلند، کانی فرعی آن اسفن کدر و کانی‌های ثانویه شامل اکسیدهای آهن، اپیدوت و کوارتز هستند. متوسط اندازه بلورهای پلاژیوکلاز ۴۰۰ میکرون است ولی گاهی درشت بلورهای آن تا چند میلی‌متر رشد کرده و بیش از ۸۰٪ درشت بلورهای سنگ را تشکیل داده‌اند (شکل ۲ پ). اکسیدهای آهن با فراوانی حدود ۸٪، به شکل رگچه‌ای، دانه‌پراکنده و گاهی انباشت‌ها پیرامون درشت بلورها جایگزین شده‌اند (شکل ۲ پ).

پهنه طارم دنباله نوار آتشفشانی و نفوذی البرز غربی است [۲۸] که از فعالیت ماگمایی پس‌برخورد صفحه عربی و ایران، در کرتاسه پسین ایجاد شده است [۲۹]. نهشته‌های آتشفشانی و آتشفشانی-آواری سازند کرج در پهنه طارم نشان‌دهنده فعالیت آتشفشانی در یک حوضه رسوبی کم‌عمق با فازهای متناوب انفجاری و خروج روانه‌های آندزیتی، داسیتی و بسیار کم ریولیتی است [۴]. سنگ‌های آتشفشانی و نفوذی با ترکیب غالب حدواسط تا فلسیک و گرایش کلسیمی - قلیایی در کمربند ماگمایی البرز - آذربایجان گسترش بسیاری دارند [۳۰] و میزبان اصلی ذخایر فلزهای پایه و گران‌بها در بسیاری از نقاط هستند [۳۱].

پی‌سنگ تشکیلات منطقه به احتمال بسیار شامل سازندهای با سن پالئوزویک پسین و کرتاسه است [۳۲]. قدیمی‌ترین واحدهای رخنمون‌یافته، توف‌ها و توفیت‌های معادل سازند کرج با سن احتمالی ائوسن میانی هستند. راستای عمومی این توف‌ها شمال غرب - جنوب شرق است و شیب آن‌ها بسته به عملکرد ساختارهای زمین‌ساختی تغییر می‌کند. روند این ساختارها متأثر از گسل‌های اصلی رودبار - منجیل در شمال و سلطانیه در جنوب [۲۳] و گسل‌های طولی به نسبت فراوان با روند شمال غرب - جنوب شرق [۳۳] است. درون توف‌های ائوسن در بیشتر محل‌ها، گدازه‌هایی با ترکیب بازالتی تا آندزیتی به صورت بین‌لایه‌ای دیده می‌شوند [۳۴]. در سنگ‌نگاری منطقه، واحدهای سنگی از قدیم به جدید شامل توف‌ها، واحدهای سینیتی، آندزیتی، آندزی‌بازالت و رگه‌های



شکل ۲ تصاویر میکروسکوپی سنگ‌های کانسار آق‌دره: الف) بلورهای کوارتز در زمینه شیشه‌ای همراه با ترک‌های پرلیتی در توف، ب) فلدسپار پتاسیم و پلاژیوکلاز با بافت دانه‌ای و کوارتز در سینیت، پ) درشت بلور پلاژیوکلاز و اکسیدهای آهن لبه آن در آندزیت، ت) زمینه فلدسپار با قالب باقیمانده کانی‌های مافیک پیروکسن در آندزیت‌بازالت، ث) ملاکیت شعاعی و کوارتز در رگه‌های سیلیسی و ج) رگچه‌های اکسید آهن که کانی‌ها را قطع کرده‌اند. (Qz: کوارتز، Pl: پلاژیوکلاز، Kfs: فلدسپار پتاسیم، Fe-oxide: اکسیدهای آهن، Px: پیروکسن، Fsp: فلدسپار، Mic: ملاکیت، Cal: کلسیت) نشانه‌های اختصاری کانی‌شناسی برگرفته از مرجع [۳۵] است.

سیال‌های ماگمایی و یا گرمایی دچار دگرسانی‌های سیلیسی، آرژیلیک (شکل ۳ الف) و پروپلیتیک و با اهمیت کمتر، آلونیتی و سریسیتی شده‌اند. از ترکیب یافته‌های آزمایشگاهی مقاطع نازک و داده‌های XRD نمونه‌های برداشت شده از پهنه‌های دگرسانی، با مشاهدات صحرایی نتایج زیر برداشت شد.

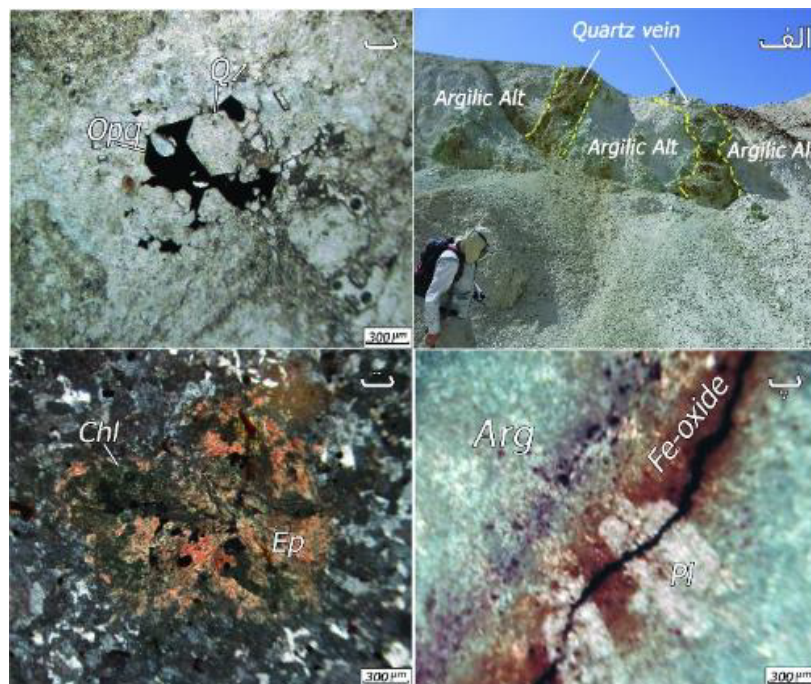
دگرسانی سیلیسی مهم‌ترین دگرسانی منطقه و در ارتباط با نفوذ سیال‌های گرمایی سرشار از سیلیس، به ویژه در پیرامون رگه‌ها و پهنه‌های برشی است که اغلب به تدریج به هاله دگرسانی آرژیلیک رسیده است و طیف رنگی از خاکستری تا قهوه‌ای دارد. بر اساس نتایج XRD (جدول ۱)، کوارتز کانی اصلی این دگرسانی است و کانی‌های پیریت، ارتوکلاز، ایلیت، مسکویت، کائولینیت، ملاکیت و بیوتیت نیز در آن حضور دارند. در مقطع میکروسکوپی، بلورهای درشت کوارتز توسط بلورهای ریز آن قطع شده‌اند. کانی‌های کدر (به احتمال بسیار پیریت) با فراوانی ۲ تا ۳٪ در فضای بین بلورهای کوارتز دیده می‌شوند و با بلورهای درشت و کاملاً شکل‌دار کوارتز دارای مرز مشترک هستند. بلورهای درشت کوارتز پس از کانی کدر تشکیل شده و درون آن رشد کرده‌اند (شکل ۳ ب).

آندزیت بازالت با گسترش کم و رنگ خاکستری تیره در شمال شرقی منطقه رخنمون دارد. بلورهای بسیار ریز فلدسپار، کوچکتر از ۵۰ میکرون، بیش از ۹۰٪ سنگ را تشکیل داده و بافت ریزپورفیری به آن داده‌اند (شکل ۲ ت). آثار کانی‌های مافیک مانند پیروکسن با فراوانی حدود ۲٪ زمینه در سنگ به چشم می‌خورند (شکل ۲ ت).

رگه‌های سیلیسی فراوان‌ترین رگه‌های متقاطع در منطقه بوده و دربردارنده کانی‌های مس، کدر و اکسیدهای آهن هستند. کانی‌سازی شعاعی ملاکیت اغلب به همراه بخش‌های سیلیسی دیده می‌شود (شکل ۲ ث). رگچه‌هایی از اکسیدهای آهن با فراوانی ۲ تا ۳٪، کانی‌های یاد شده را قطع کرده‌اند (شکل ۲ ج) و توالی سنگ میزبان دگرسان، بلورهای کوارتز ریز، ملاکیت، رگچه‌های کوارتز درشت و رگچه‌های اکسیدی آهن را از قدیم به جدید به نمایش می‌گذارد.

دگرسانی و کانه‌زایی

درویش‌زاده و آسیابانها [۳۶] و حاج علیلو [۳۷] دگرسانی‌های گسترده‌ای را در نواحی مختلف حوزه چندفلزی طارم معرفی کرده‌اند. واحدهای سنگی منطقه در معرض توده‌های نفوذی،



شکل ۳ تصاویر صحرایی و میکروسکوپی از دگرسانی‌های کانسار آق‌دره و کانه‌زایی در آن‌ها: الف) رگه‌های سیلی و دگرسانی آرژیلیک کنار آن، ب) مرز مشترک کانی کدر (پیریت) با بلور درشت و ششگوشی کامل کوارتز، پ) قالب‌های پلاژیوکلاز در دگرسانی آرژیلیکی که با رگه اکسیدهای آهن قطع شده است، ت) دگرسانی پروپلیتیک شامل اپیدوت و کلریت در زمینه سیلیسی (Argilic Alt): دگرسانی آرژیلیک، Qz: کوارتز، Opq: کدر، Pl: پلاژیوکلاز، Fe-oxide: اکسیدهای آهن، Arg: آرژیلیک، Ep: اپیدوت، Chl: کلریت) نشانه‌های اختصاری کانی‌شناسی برگرفته از مرجع [۳۵] هستند.

جدول ۱ نتایج XRD برخی نمونه‌های کانسار آق‌دره.

شماره نمونه	دگرسانی	کانی‌ها
AG-۰۶	سرسیتی - آرژیلیک	کوارتز + کالکوپیریت + آلونیت + مسکوویت + پیریت
AG-۱۲	آرژیلیک	کوارتز + هماتیت + ارتوکلاز + کانولینیت
AG-۱۵	پروپلیتیک	کوارتز + آلونیت + اپلیت + کلسیت
AG-۱۶	آرژیلیک - آلونیتی	کوارتز + کلینوکلر + آلونیت + مسکوویت + آاناتاز + پیریت
AG-۲۰	آرژیلیک - آلونیتی	کوارتز + کلینوکلر + آلونیت + مسکوویت + پیریت
AG-۲۴	سرسیتی	کوارتز + کالکوپیریت + پیریت
AG-۴۲	سیلیسی	کوارتز + مسکوویت + کانولینیت
AG-۴۴	سیلیسی	کوارتز + روتیل
AG-۴۷	سیلیسی	کوارتز + مالاکیت + بیوتیت
AG-۵۷	سیلیسی	کوارتز + پیریت + ارتوکلاز + مسکوویت + اپلیت
AG-۵۸	سیلیسی - آرژیلیک	کوارتز + پیریت + مسکوویت + اپلیت
AG-۵۹	آرژیلیک	کوارتز + مسکوویت + اپلیت
AG-۶۲	آلونیتی	کوارتز + آلونیت + مسکوویت

دگرسانی سیلیسی منطقه و در مرز بین آن با دگرسانی آرژیلیک بخش محدودی با دگرسانی آرژیلیک پیشرفته وجود دارد که تفکیک آن‌ها از هم دشوار است. همچنین، رخنمون‌های متعددی از کائولن در منطقه دیده شده است. بر

دگرسانی آرژیلیک به همراه دگرسانی آلونیتی در مرکز، شرق و جنوب شرق منطقه گسترش یافته و از دگرسانی‌های گرمایی است. این دگرسانی‌ها در پهنه‌های گسلی توف‌های ائوسن ایجاد شده و با عوامل ساختاری کنترل شده‌اند [۳۴]. در لبه

بررسی‌های کانی‌سازی و کانی‌شناسی

کانی‌سازی اصلی در منطقه به صورت رگه‌هایی در شکستگی به نسبت قائم با راستای شمالی-جنوبی رخ داده است. این رگه‌ها بیشتر سیلیسی هستند و فضای خالی بسیاری از آن‌ها با کانی‌های سولفیدی پر شده است. بافت پُرکننده فضای خالی از بافت‌های معمول کانی‌سازی فراگرمایی است [۴۰]. از نظر هندسی نیز، شکل رگه‌ای از شکل‌های کانسارهای فراگرمایی است [۴۱]. کانی‌سازی در کانسار مس آق‌دره شامل کانی‌های فلزی و غیرفلزی است که در دو مرحله‌ی درونزاد (اولیه) و برونزاد (ثانویه) شکل گرفته‌اند. در توالی همبرزایی، کانی‌سازی درونزاد خود به دو زیرمرحله قابل تفکیک است. کانی‌های اصلی کالکوپیریت و پیریت در هر دو زیرمرحله‌ی کانی‌سازی اولیه حضور دارند ولی کانی اصلی گالن و کانی‌های باطله باریت و کلسیت فقط در زیرمرحله‌ی دوم ایجاد شده‌اند. در کانی‌سازی برونزاد، کانی‌های اصلی مالاکیت، آزوریت و به مقدار کمتری گوتیت تشکیل شده‌اند. کانی کوارتز به عنوان باطله در همه مراحل کانی‌سازی گسترده شده است. کانی‌های اصلی کالکوپیریت و پیریت و کانی باطله کوارتز بیشترین فراوانی نسبی را دارند و کانی‌های باطله کلسیت و باریت با کمترین فراوانی نسبی بخشی از فرایند کانی‌سازی را همراهی کرده‌اند (شکل ۴).

اساس نتایج XRD (جدول ۱)، کانی‌های کوارتز، هماتیت، ارتوکلاز، کائولینیت، آلونیت، مسکویت و ایلیت در این پهنه حضور دارند که وجود آلونیت تاییدی بر دگرسانی آرژیلیک پیشرفته است [۳۸]. در مقطع میکروسکوپی، قالب‌های برجمانده از پلاژیوکلاز دگرسان‌شده که از نشانه‌های دگرسانی آرژیلیک هستند، با رگه‌های اکسید آهن قطع شده است (شکل ۳ پ).

دگرسانی پروپلیتیک: در گدازه‌های آندزیتی و آندزیت‌بازالتی منطقه با رنگ سبز روشن تا تیره رخنمون داشته است. این دگرسانی بیشتر در بخش‌های بیرونی پهنه‌های کانه‌زایی منطقه گسترش یافته و محدودکننده مرزهای خارجی سامانه دگرسانی است. کلریت، اپیدوت و کلسیت از کانی‌های مشخصه آن هستند [۳۹]. فراوانی کلریت در نزدیکی رگه‌های سیلیسی منطقه کمتر بوده و با دور شدن از رگه‌ها، بر فراوانی آن افزوده شده که به تدریج جانشین پلاژیوکلاز شده است. کانی کلسیت به عنوان یکی از کانی‌های اصلی دگرسانی پروپلیتیک در نتایج XRD سنگ دگرسان (جدول ۱) تشخیص داده شده است. در بررسی مقطع میکروسکوپی، کانی اصلی کلریت و کانی‌های فرعی کدر و اپیدوت در زمینه سیلیسی دیده شده‌اند (شکل ۳ ت).

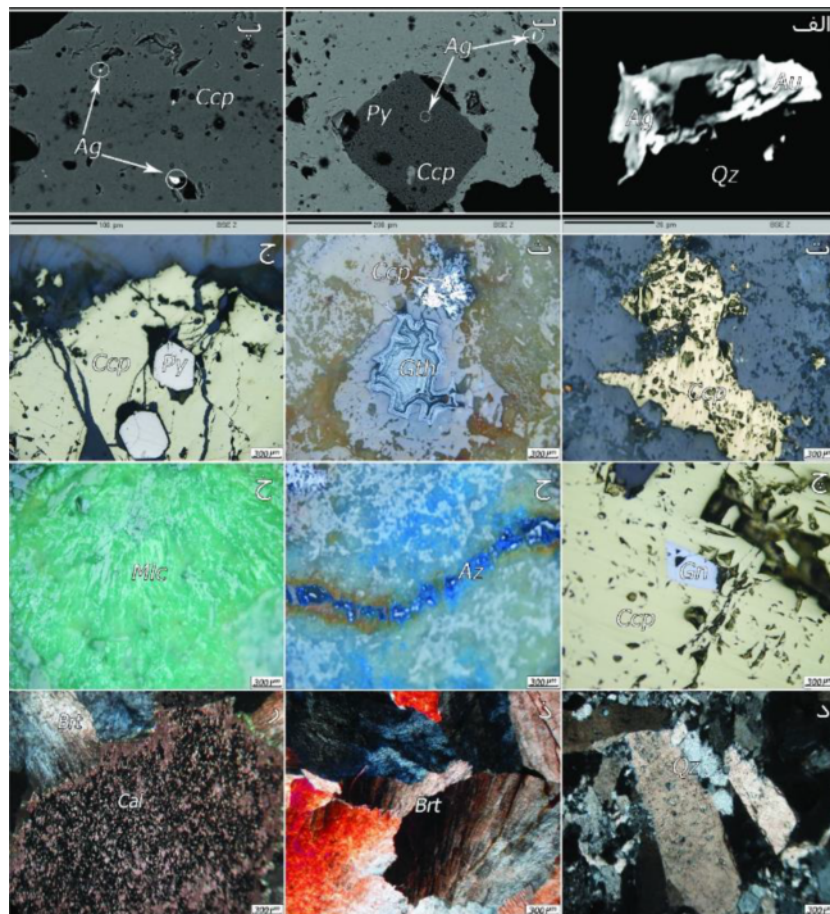
Mineralogy	Stages	Hypogene		Supergene
		Substage 1	Substage 2	
Ore	Chalcopyrite	—————		
	Pyrite	—————		
	Galena		—————	
	Malachite			—————
	Azurite			—————
	Goethite			—————
Gangue	Quartz	—————		
	Barite		—————	
	Calcite		—————	

شکل ۴ توالی همبرزایی و فراوانی نسبی کانی‌های کانسار آق‌دره.

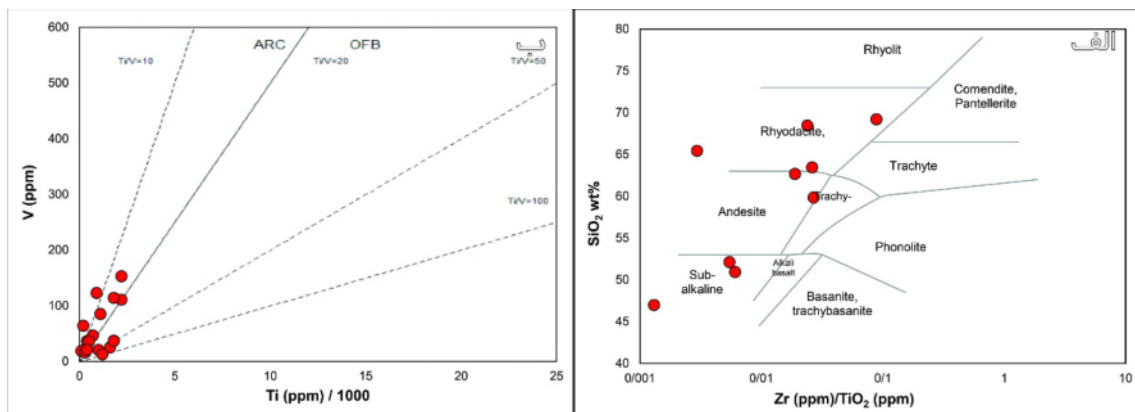
نسبت به دیگر کانی‌های مس‌دار، فراوانی کمتری داشته است (شکل ۵ ح). مالاکیت به صورت پراکنده و یا رگه‌ای، به فراوانی در درون سنگ میزبان آن انباشته شده و بافت رشته‌ای آن نشان‌دهنده تشکیل در دمای پایین است (شکل ۶ خ). این کانی در اثر هوازدگی و آزاد شدن مس از ساختار کانی‌های مس‌دار اولیه تشکیل شده و دلیلی بر وجود پهنه برونزاد اکسیدی در منطقه بوده که باعث افزایش عیار مس شده است. گوتیت نیز در نتیجه اثر فرآیندهای اکسایش بر کانی‌های سولفیدی و تشکیل هیدروکسید آهن در لبه‌ها و راستای شکستگی‌های آن‌ها ایجاد شده است. اکسایش سولفیدها وابسته به بالآمدگی سنگ‌ها، آب و هوا، ترکیب سنگ اولیه (به ویژه مقدار پیریت) و ساختار سنگ میزبان از نظر گسل‌خوردگی و شکستگی است. بالآمدگی سنگ‌ها، به علت فرسایش یا زمین‌ساخت، سبب شده است تا پهنه‌های سولفیدی بخش زیرین در معرض واکنش با محلول‌های هوازده‌کننده اکسایشی قرار گیرند [۴۲]. در مقطع میکروسکوپی، کالکوپیریت دستخوش هوازدگی شده و در حال تجزیه شدن به اکسیدها و هیدروکسیدهای آهن بوده و گوتیت با بافت گل کلمی جانشین آن‌ها شده است (شکل ۵ ث).

کانی‌های باطله منطقه شامل کوارتز، باریت و کلسیت هستند. اصلی‌ترین کانی باطله، کوارتز بوده که بر اساس اندازه بلورها، در دو دسته ریزبلور و درشت‌بلور تقسیم شده است [۴۳، ۴۴]. کوارتز به صورت نهان‌بلور تا بلورهای خودشکل و بسیار درشت روشن، سفید و یا خاکستری در رگه و رگچه‌های سیلیسی و سیمان گرمابی متبلور شده است (شکل‌های ۲ ب، ۳ ب و ۵ د). بلورهای درشت کوارتز در مقطع میکروسکوپی بلورهای ریز آن را قطع کرده‌اند و دو نسل متفاوت سیلیسی شدن را نشان می‌دهند (شکل ۵ د). نسل اول کوارتز به صورت نهان‌بلور تا ریزبلور در زمینه سنگ کوچکتر از ۲۰ میکرون است (شکل ۲ ب) و نسل دوم، به صورت بلورهای خودشکل و بسیار درشت در مرکز رگه‌های سیلیسی با اندازه بیش از ۳۰۰ میکرون متبلور شده‌اند (شکل‌های ۳ ب و ۵ د). باریت در مقطع میکروسکوپی به صورت کانی‌های ریز تا بسیار درشت و کشیده با بافت شعاعی، بادبزنی و پرماند تبلور یافته است (شکل ۵ ذ). کلسیت در مقطع میکروسکوپی به دو صورت درشت‌بلور و توده‌های دانه‌ای، با بافت شکافه‌پُرکن، باریت را همراهی کرده است (شکل ۵ ر). حضور کلسیت در سامانه‌های گرمابی به غلظت بالای CO₂ که برای انتقال طلا به صورت کمپلکس سولفیدی بسیار اهمیت دارد نسبت داده می‌شود [۵].

بر پایه نتایج بررسی‌های کانی‌شناسی شامل بررسی‌های میکروسکوپی مقاطع نازک، ریز پردازش الکترونی (EPMA) و پراش پرتو ایکس، کانه‌های سولفیدی، اکسیدی-هیدروکسیدی، کربناتی و سیلیکاتی در کانسار مس آق‌دره تشکیل شده‌اند. بر اساس تصاویر الکترونی پس پراکنده (BSE) و نتایج EPMA، طلا با اندازه ۲۰ میکرون و با ۵۹ درصد وزنی به صورت پُرکننده حفره‌ها و شکستگی‌ها در باطله سیلیسی و در کنار ذرات نقره تشکیل شده است (شکل ۵ الف). نقره با ۸۶ تا ۹۱ درصد وزنی، افزون بر باطله سیلیسی، در ساختار کالکوپیریت و پیریت نیز دیده شده است (شکل‌های ۵ ب و پ). در مجموع، کانی‌های کالکوپیریت، پیریت و گالن، ذرات طلا و نقره را در باطله سیلیسی همراهی کرده‌اند. کالکوپیریت نخستین کانی سولفیدی تشکیل شده و مهم‌ترین و فراوان‌ترین کانی مس‌دار در کانسار مس آق‌دره است. این کانی اغلب با کانی‌های سولفیدی دیگر (پیریت و گالن) همراه بوده و در مقطع میکروسکوپی، با اندازه‌های مختلف از ۴۰ میکرون تا چند میلی‌متر به صورت لکه‌ای و پُرکننده فضای خالی در زمینه سیلیسی دیده شده است (شکل ۵ ت). سیلیسی شدن سنگ میزبان، پیش و همزمان با تشکیل کانی‌ها، محیط مناسبی را برای فرایند جانشینی فراهم کرده و بخشی از کانی کالکوپیریت در اثر فرایندهای برونزاد، از لبه و یا مرکز، با مالاکیت، آزوریت و گوتیت جانشین شده است (شکل ۵ ث). پیریت در دو نسل تشکیل شده است. نسل اول به صورت خودشکل و دارای لبه-های کاملاً منظم بوده که با کالکوپیریت‌های با لبه نامنظم همراه هستند، ولی جوان‌تر از آن‌ها ارزیابی می‌شوند (شکل ۵ ج). نسل دوم در تصاویر BSE میکروسکوپ الکترونی و داده‌های EPMA، دارای بلورهایی با اندازه ۲۰ تا ۳۰۰ میکرون، به صورت شکل‌دار تا نیمه‌شکل‌دار هستند و کالکوپیریت را در بر گرفته‌اند (شکل ۵ ب). گالن به صورت پُرکننده فضای خالی و با شکستگی‌های مثلثی آشکار در سنگ میزبان آن شناسایی شده است. این کانی با فراوانی کم و اندازه ۵ تا ۱۰۰ میکرون با کالکوپیریت همراهی می‌شود ولی لبه آن از کالکوپیریت منظم‌تر بوده و پس از آن تشکیل شده است (شکل ۵ چ). آزوریت و مالاکیت فرآورده دگرسانی کالکوپیریت هستند که در اثر واکنش مس آزاد شده با کمپلکس کربناتی موجود در محیط به صورت کربنات‌های مس آب‌دار نهشته شده و حفره‌ها و فضاهای خالی را پر کرده‌اند. آزوریت با بافت شکافه پُرکن و رگچه‌ای و رنگ آبی لاجوردی در منطقه قابل تشخیص بوده و



شکل ۵ تصاویر میکروسکوپ الکترونی BSE (الف تا پ) و تصاویر میکروسکوپی مقاطع نازک (ت تا ر) کانی سازی در کانسار آق دره: الف) ذرات طلا و نقره در زمینه سیلیسی، ب) ذرات نقره در بلور شکل دار پیریت به همراه کالکوپیریت، پ) ذرات کوچک نقره در کالکوپیریت، ت) کالکوپیریت لکه ای در فضای خالی سنگ میزبان سیلیسی، ث) کانی گوتیت با بافت کلوform حاصل از تجزیه کالکوپیریت اولیه، ج) پیریت خود شکل با حاشیه کاملاً منظم به صورت شکافه پُرکن در کالکوپیریت، چ) گالن شکافه پُرکن با شکستگی مثلی واضح همراه کالکوپیریت، ح) آزوریت رگچه ای، خ) مالاکیت رشته ای، د) بلورهای بسیار درشت کوارتز در رگه سیلیسی که بلورهای ریز را قطع کرده است، ذ) بلورهای بسیار درشت باریت به شکل بادبزی، ر) بلور درشت کلسیت در فضای بین کانی های باریت. (Au): طلا، (Ag): نقره، (Qz): کوارتز، (Py): پیریت، (Ccp): کالکوپیریت، (Gth): گوتیت، (Gn): گالن، (Az): آزوریت، (Mlc): مالاکیت، (Brt): باریت، (Cal): کلسیت) علائم اختصاری کانی شناسی برگرفته از مرجع [۳۵].



شکل ۶ الف) نمودار رده بندی سنگ های آذرین کانسار آق دره بر پایه درصد وزنی SiO_2 نسبت به مقادیر Zr/TiO_2 [۴۵]، ب) نمودار تعیین سری ماگمایی سنگ های آذرین کانسار آق دره بر اساس مقادیر عنصر کمیاب V نسبت به Ti [۴۶]. (ARC): کمان های آتشفشانی و OFB: بازالت کف اقیانوسی).

جدول ۳ یافته های طیفسنجی جرمی پلاسمای جفت شده القایی (Nd: زیر حد تشخیص دستگاه، DL: حد تشخیص)

شماره نمونه	Ag	Cu	Pb	Zn	Sb	As	Bi	Fe	Cd	Cs	Rb	Ba	Th	U	Nb
AG-۰۶	۱۴٫۸	۱۲۶۷۰	۱۰۳	۳۳٫۸۱	۵۰٫۶	۲٫۳۳	۲٫۴۸	۰٫۱	Nd	۱۳	۴۹٫۹۵	۱٫۱۲	۱٫۲۲	۲٫۲۸	۱۴٫۸
AG-۱۲	۱٫۴۵	۸۴۴٫۲	۵۸٫۳۴	۳۹٫۹۵	۲۱٫۴۱	Nd	۸٫۶۸	Nd	Nd	۱۵٫۴۷	۲۱۹٫۳	Nd	Nd	۳٫۶۶	۱٫۴۵
AG-۱۵	۲٫۴۵	۱۴۳۰	۱۳۳٫۹	۳۶٫۸۸	۸٫۲۳	Nd	۱٫۶	Nd	۲	۱۷٫۲۵	۲۲٫۹	Nd	Nd	۲٫۷۳	۲٫۴۵
AG-۱۶	۴٫۶۱	۵۷۳۷	۱۱۱	۱۲۳٫۱	۵٫۲۴	Nd	۴٫۵۶	۰٫۱۵	۲٫۱۶	۸٫۲۱	۳۹٫۸۸	Nd	۲٫۳۶	۶٫۲۸	۴٫۶۱
AG-۲۰	۳٫۴۵	۴۰۵۳	۱۱۲٫۶	۱۱۰	۶٫۷۳	Nd	۴٫۰۷	۰٫۱۶	۲٫۵۷	۱۷٫۹۱	۵۶٫۱۶	Nd	۲٫۲۱	۵٫۲۴	۳٫۴۵
AG-۲۴	۲۵٫۰۱	۸۴۲۷۰	۲۳۹٫۷	۲۶۶۹	۳٫۷۸	۵٫۲۷	۹٫۶۱	۰٫۴۹	Nd	۴٫۴۸	۱۱٫۴۷	Nd	Nd	Nd	۲۵٫۰۱
AG-۲۶	۶٫۵۳	۱۱۵۲۸	۲۱۸٫۶	۳۵	۱	۱	۱٫۹۵	۰٫۱	۴٫۰۲	۳۴٫۳	۱۱۵٫۷	۲٫۹۳	۲٫۰۸	۷٫۶۶	۶٫۵۳
AG-۴۲	۲۴٫۱۳	۱۷۰۸۰	۵۷۲٫۸	۳۰۰٫۲	۲۰٫۸۳	۶۵۳	۲٫۷۲	۳٫۴۱	۱٫۶	۲۷٫۹۷	۵۱۰٫۲	۱٫۳۹	۳٫۸۱	۲٫۹۲	۲۴٫۱۳
AG-۴۴	۲۸٫۷۴	۱۰۷۹۰	۴۷۳٫۳	۳۵۸۸	۲۴٫۵	۱۸٫۲	۳٫۳۴	۳٫۶۲	Nd	۷۹۷٫۵	۴٫۵۴	۲٫۷۵	۵٫۲۶	۳٫۴۴	۲۸٫۷۴
AG-۴۶	۳٫۱۳	۶۷۰۱۵	۲۰۲۹	۳۶۱	۲٫۲۴	۴٫۷۶	۳٫۱۷	۰٫۳۱	۱	۱۷٫۷۵	۱۳۵٫۳	۱٫۶۳	۲٫۷۹	۱۲٫۷۳	۳٫۱۳
AG-۴۷	۲۵٫۴۱	۲۸۴۹۰	۳۲۷٫۴	۲۴۵٫۳	۲۱٫۹۲	۱۱٫۷	۳٫۷۱	۰٫۹۷	Nd	۱۱٫۸۹	۳۹٫۹۷	Nd	۳٫۶	۱٫۷	۲۵٫۴۱
AG-۵۱	۱٫۴۹	۱۱۰٫۸۵	۲۹٫۲۹	۴۳٫۹	۱	۱	۰٫۵۶	۰٫۱	۱	۵٫۰۳	۹۶٫۴۹	۲٫۲۶	۱٫۴۵	۲۴٫۹۵	۱٫۴۹
AG-۵۷	Nd	۳۵۴٫۶	۱۸٫۶۴	۱۹٫۷۵	۱۲٫۹	Nd	۱٫۸۴	Nd	۱٫۷۷	۱۳۱٫۷	۳۱۶٫۲	۲٫۷۴	۱٫۹۲	۱۳٫۳۹	Nd
AG-۵۸	Nd	۵۰۶	۱۰٫۶۳	۲۲٫۶۵	۲۷٫۵۶	Nd	۲٫۶۷	Nd	۱٫۹۴	۶۵٫۳۳	۱۴۶	۱٫۶۲	۳٫۸۷	۱۱٫۷۵	Nd
AG-۵۹	۱٫۰۹	۶۳۵٫۶	۴۱٫۴۳	۳۱٫۰۷	۱۱٫۴۷	Nd	۰٫۹۲	Nd	۲٫۶۷	۶۳٫۵۹	۶۹٫۸۵	۲٫۷۷	۱٫۵۳	۹	۱٫۰۹
AG-۶۲	Nd	۱۳۰٫۲	۱۵۵٫۷	۱۵۰٫۲	۳۸۰٫۳	Nd	۰٫۵۴	Nd	Nd	۵۲٫۹۴	۱۸۸٫۹	۱٫۹۵	۱٫۰۹	۸٫۹۸	Nd
AG-۶۵	۱	۳۲٫۵۱	۱۶٫۳۷	۱۹٫۸۱	۱٫۳۷	۱	۰٫۱	۰٫۱	۰٫۱	۱۰٫۳۴	۱۶٫۷۵	Nd	Nd	۴٫۷	۱
DL	۱ppm	۱ppm	۱ppm	۱ppm	۱ppm	۱ppm	۰٫/۱	۰٫/۱ppm	۱ppm	۱ppm	۱ppm	۱ppm	۱ppm	۱ppm	۱ppm
شماره نمونه	K	La	Ce	Pr	Sr	P	Nd	Zr	Sm	Eu	Ti	Dy	Y	Yb	Lu
AG-۰۶	۰٫۵۱	۸٫۹۶	۲۲٫۵۱	۱٫۲۲	۲۴٫۶۷	۰٫۰۳	۶۳۲	Nd	۱٫۳۳	Nd	۰٫۰۷	۲٫۱	۱۰٫۳	۱٫۳۱	Nd
AG-۱۲	۱٫۰۴	Nd	۰٫۷۷	Nd	۲۹٫۳۴	۰٫۰۳	Nd	۶٫۱۳	Nd	Nd	۰٫۲۲	Nd	Nd	Nd	Nd
AG-۱۵	۰٫۹۲	Nd	۱۱٫۳۴	Nd	۱۸٫۱۴	۰٫۰۲	Nd	۱۲٫۱	Nd	Nd	۰٫۱۱	Nd	Nd	Nd	Nd
AG-۱۶	۱٫۱۱	Nd	۰٫۵۹	Nd	۲۷٫۹۳	۰٫۰۲	Nd	۳۷٫۱	Nd	Nd	۰٫۲۲	Nd	Nd	Nd	Nd
AG-۲۰	۱٫۱۹	Nd	۱۹٫۷۲	Nd	۴۷٫۶۸	۰٫۰۲	۱٫۰۶	۳۳٫۳	Nd	Nd	۰٫۱۸	Nd	Nd	Nd	Nd
AG-۲۴	۰٫۱۲	۱۳٫۵	۲۳٫۸۱	۲٫۳۹	۱۰	۰٫۱۱	۱۲٫۲	Nd	۲٫۵۷	Nd	۰٫۰۱	۱٫۰۸	۴٫۱۹	Nd	
AG-۲۶	۲٫۷۹	۱۰٫۷	۲۴٫۲۵	۳٫۱۶	۸۹٫۴۹	۰٫۰۶	۱۷٫۲	۷٫۱۷	۳٫۴۶	Nd	۰٫۰۹	۱٫۱۴	Nd	Nd	
AG-۴۲	۰٫۹۵	۹٫۷۷	۵۷۰٫۵	۱٫۹۹	۲۵٫۶۶	۰٫۰۴	۹	۸٫۸۷	۱٫۶۱	Nd	۰٫۰۴	Nd	۲٫۹۶	Nd	
AG-۴۴	۰٫۱	۲۴٫۸	۶۰٫۶۹	۳٫۹۳	۳۵٫۸۳	۰٫۰۴	۱۶٫۴	Nd	۲٫۸۸	Nd	۰٫۰۳	۱٫۸۷	۱۰٫۴	۱٫۱۶	
AG-۴۶	۱٫۲۵	۱۴٫۸	۲۹٫۵۸	۲٫۵۵	۲۴٫۶۵	۰٫۰۲	۱۴٫۷	۸٫۹۸	۱٫۵	Nd	۰٫۰۴	۱٫۰۴	Nd	Nd	
AG-۴۷	۰٫۳	۷٫۱۱	۱۲٫۹۴	۱٫۰۸	۱۲٫۲۴	۰٫۰۵	۴٫۷۹	Nd	Nd	Nd	۰٫۰۵	۱٫۰۵	۷٫۶۸	Nd	
AG-۵۱	۰٫۱	۶٫۹۳	۹٫۸۳	۱	۲۴٫۶۱	۰٫۰۱	۷٫۲	۱۱٫۲	۱٫۰۲	Nd	۰٫۱۲	۱	Nd	Nd	
AG-۵۷	۴٫۶۴	۴٫۷۱	۲۹٫۸۶	۱٫۰۱	۱۹۸٫۷	۰٫۰۳	۴٫۸۲	۷۸٫۶	Nd	Nd	۰٫۱۶	Nd	۳٫۱۶	Nd	
AG-۵۸	۲٫۷۲	۲٫۹۸	۳۸٫۱۹	Nd	۵۳۴٫۲	۰٫۰۵	۳٫۱۲	۹۷	Nd	Nd	۰٫۱۸	Nd	۲٫۴۲	Nd	
AG-۵۹	۳٫۱۳	۴٫۶	۴۶٫۴۸	۱	۳۰۸٫۳	۰٫۰۳	۴٫۵۲	۹۱	Nd	Nd	۰٫۱	Nd	۲٫۹۶	Nd	
AG-۶۲	۳٫۰۷	۱٫۱۶	۱٫۹۱	Nd	۴۰٫۱۹	۰٫۰۵	۱٫۲۴	۶۴٫۴	Nd	Nd	۰٫۱۸	Nd	۱٫۵۵	Nd	
AG-۶۵	۸٫۵۵	۱٫۵۱	۱	۱	۱۷۱٫۳	۰٫۰۳	۲٫۶۳	۲٫۱۲	۱٫۱۷	Nd	۰٫۰۲	۱	Nd	Nd	
DL	۰٫/۱	۱ppm	۰٫/۱ppm	۱ppm	۱ppm	۰٫/۰۱	۱ppm	۱ppm	۱ppm	۱ppm	۰٫/۰۱	۱ppm	۱ppm	۱ppm	۱ppm

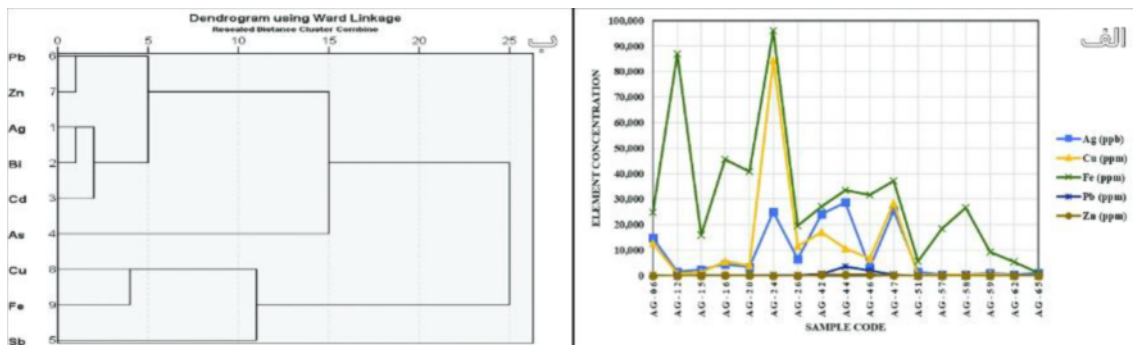
ارتباط معنادار در سطح ۰/۰۵ بوده‌اند. آرسنیک همبستگی معناداری با سایر عناصر کانه‌ساز ندارد و کانسارهای فلزی منطقه وابسته به آرسنیک نیستند (جدول ۴ و شکل ۷ الف). در مرحله دوم برای شناسایی ارتباط زایشی عناصر کانه‌ساز و تعیین ملاکی برای رده‌بندی آن‌ها بر اساس تشابه درون-گروهی و اختلاف بین‌گروهی، از روش آماری ارتباط چند-متغیره‌ی تجزیه خوشه‌ای با اساس از روش خوشه‌بندی وارد استفاده شد. بر پایه نمودار درختی تجزیه خوشه‌ای (شکل ۷ ب)، عناصر مورد بررسی در ۵ خوشه قرار دارند. خوشه نخست شامل Sb، خوشه دوم شامل Cu و Fe، خوشه سوم شامل As، خوشه چهارم شامل Ag، Bi و Cd و خوشه پنجم شامل Zn و Pb است. هم‌گروهی عناصر خوشه‌های دوم، چهارم و پنجم با همبستگی معنادار جفت عناصر در ماتریس همبستگی پیرسون همخوانی دارد. قرارگیری آرسنیک به تنهایی در خوشه سوم، نبود وابستگی معنادار آن با سایر عناصر کانه‌ساز منطقه را تایید می‌کند. نتایج تحلیل خوشه‌ای و انطباق آن با همبستگی عناصر، می‌تواند نشان‌دهنده هم‌خاستگاه بودن عناصر یک گروه باشد و به عنوان ردیاب و معرف کانی‌سازی استفاده شود، به طوری که تشابه خاستگاه و همبستگی عناصر مس و آهن با هم‌بزرایی کانی‌های کالکوپیریت و پیریت توجیه‌پذیر است. حضور سرب و همبستگی و ارتباط زایشی آن با عنصر روی را می‌توان با وجود کانی گالن در منطقه در ارتباط دانست.

در نمودار درصد وزنی SiO₂ نسبت به Zr/TiO₂ [۴۷] برای رده‌بندی ژئوشیمیایی، نمونه‌ها در گستره بازالت‌های نیمه‌قلیایی، آندزیت، ریوداسیت و داسیت قرار دارند (شکل ۶ الف). تمایل ترکیب بخشی از سنگ‌ها به سمت ریوداسیت و داسیت به دلیل بالا بودن مقدار سیلیس در سنگ‌ها یا اسیدی بودن شیشه‌ی موجود در زمینه‌ی آن‌هاست [۴۹]. پهنه‌ی زمین‌ساختی سنگ‌های آتشفشانی بر پایه نمودار Ti نسبت به V [۴۶]، شناسایی شدند. به دلیل بی‌حرکی عناصر V و Ti از نظر زمین‌شیمیایی در سنگ‌های دگرسان، از آن‌ها برای این منظور استفاده شده است [۴۶]. بر این اساس، نمونه‌های سنگی کانسار آق‌دره در بیشتر در گستره کمان ماگمایی قرار دارند (شکل ۶ ب).

مقادیر ۹ عنصر کانه‌ساز براساس داده‌های ICP-MS (جدول ۳) با نرم‌افزار SPSS تجزیه و تحلیل آماری شدند. در مرحله نخست با استفاده از ماتریس همبستگی پیرسون، همبستگی آماری بین متغیرهای کانه‌ساز منطقه با هم محاسبه شد. بر این اساس، جفت عناصر سرب - روی (۰/۸۷)، نقره - بیسموت (۰/۸۵)، روی - بیسموت (۰/۸۳)، کادمیم - بیسموت (۰/۸۱)، سرب - بیسموت (۰/۸۰)، روی - کادمیم (۰/۸۰)، نقره - کادمیم (۰/۷۶)، سرب - کادمیم (۰/۶۹)، مس - نقره (۰/۶۷) و مس - آهن (۰/۶۵) دارای ارتباط معنادار در سطح ۰/۰۱ و زوج عناصر نقره - روی (۰/۶۱) و نقره - سرب (۰/۴۹) دارای

جدول ۴ ضرایب همبستگی پیرسون برای ۹ عنصر شاخص کانه‌ساز در کانسار آق‌دره.

Cd	Fe	Bi	As	Sb	Zn	Pb	Cu	Ag	
								۱	Ag
							۱	**۰/۶۷۱	Cu
						۱	۰/۰۴۴	*۰/۴۸۷	Pb
					۱	**۰/۸۷۱	۰/۰۶۳	*۰/۶۰۵	Zn
				۱	۰/۰۱۸-	۰/۰۹۰	۰/۴۴۲	۰/۴۷۴	Sb
			۱	۰/۲۳۹-	۰/۱۷۸	۰/۱۳۶	۰/۱۵۲-	۰/۱۵۱	As
		۱	۰/۲۸۴	۰/۲۳۴	**۰/۸۳۲	**۰/۸۰۲	۰/۳۴۵	**۰/۸۴۶	Bi
	۱	۰/۱۷۵	۰/۰۰۴-	۰/۱۰۵	۰/۰۷۵	۰/۰۶۲	**۰/۶۴۹	۰/۳۴۷	Fe
۱	۰/۰۶۳	**۰/۸۱۰	۰/۳۴۳	۰/۱۱۴	**۰/۸۰۱	**۰/۶۸۷	۰/۱۷۷	**۰/۷۶۱	Cd
× تطابق قابل توجه با سطح معناداری ۰/۰۵									
×× تطابق قابل توجه با سطح معناداری ۰/۰۱									



شکل ۷ نمودارهای زمین شیمی کانسار آق دره: الف) نمودار هم‌روندی عناصر کانه‌ساز مس، سرب، روی، نقره در رگه‌های کوارتز - سولفیدی و ب) نمودار درختی تجزیه خوشه‌ای ۹ عنصر شاخص کانه‌ساز با استفاده از روش ورد در نرم افزار SPSS.

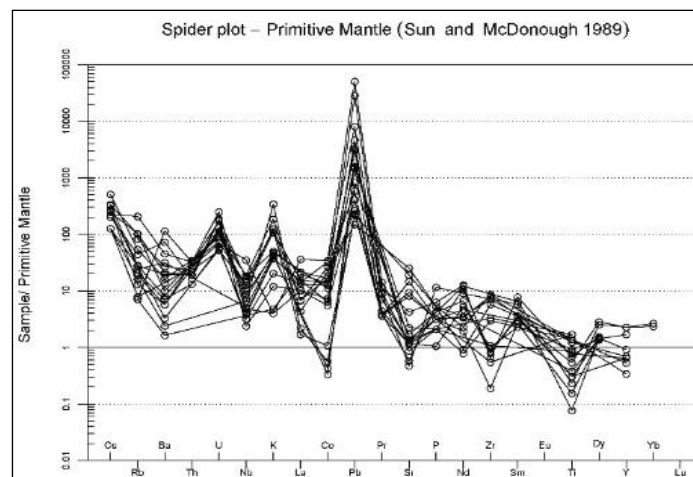
از فرایند تبلور جدایشی کانی پلاژیوکلاز [۵۴] و شسته شدن Ca در سنگ‌های دگرسان منطقه باشد. تهی‌شدگی Nb و Ti می‌تواند دلیل فعالیت ماگمایی وابسته به ناحیه فرورانش [۵۵، ۵۶]، اثر پوسته قاره‌ای در فرایندهای ماگمایی [۵۵، ۵۷] و [۵۸]، مقادیر پایین این عناصر در خاستگاه [۵۹] و پایداری فازهای دارای این عناصر در فرایند ذوب بخشی و یا جدایش آن‌ها طی فرایند جدایش ماگمایی [۵۹] باشد. افت نسبی این عناصر در سنگ‌های آتشفشانی منطقه بیانگر اثر پوسته قاره‌ای در فرایندهای ماگمایی و تشکیل واحدهای سنگی منطقه است و ویژگی‌های کمان‌های ماگمایی کرانه قاره‌ای را نشان می‌دهد [۶۰]. تهی‌شدگی Nb با الگوی عناصر کمیاب توده‌های آذرین کمان قاره‌ای و شاخص ماگماهای آهکی - قلیایی همخوانی دارد [۴۵]. این الگوی نسبی در سنگ‌های دگرسان منطقه نیز دیده شده است (شکل ۸). تهی‌شدگی Nb به همراه غنی‌شدگی Pb نشانه‌ای از ماگماهای آتشفشانی جزایر کمانی و ماگماهای برآمده از پوسته قاره‌ای است [۵۳]. در مجموع، ماگمای اولیه سنگ‌های منطقه به احتمال بسیار در ارتباط با یک محیط فرورانشی بوده که سپس با پوسته قاره‌ای آرایش یافته و سنگ‌های آذرین با رده‌بندی آهکی قلیایی را تشکیل داده است.

بررسی میانبارهای سیال

بررسی میانبارهای سیال از راه‌های شناسایی خاستگاه [۶۱] و روشی دقیق و مستقیم برای برآورد دمای تشکیل کانسار بوده [۶۲] و اطلاعات مفیدی پیرامون روابط سیال‌ها با کانی‌زایی ارائه می‌دهد [۶۳، ۶۴]. میانبارهای سیال برای ریزدماسنجی، تعیین نوع نمک‌ها و مقدار شوری محلول کانه‌دار در کانسارهای مختلف بررسی می‌شوند. البته، نخست نیاز به سنگ‌نگاری و بررسی‌های دقیق هم‌برزایی است و باید کانی‌هایی انتخاب شوند که تشکیل آن‌ها از محلول کانه‌دار تایید شده باشد [۴۲].

برای تعیین روند تغییر عناصر کمیاب، مقادیر آن‌ها در ۱۷ نمونه (جدول ۳) بر پایه از داده‌های مرجع [۵۰] با استفاده از نرم‌افزار GCDKit به مقادیر گوشته اولیه بهنجار شد. نمودار عنکبوتی چندعنصری این نمونه‌ها غنی‌شدگی نسبی عناصر سنگ‌دوست بزرگ‌یون و عناصر خاکی نادر سبک مانند K، Rb، Cs، Ba، La، Pb و تا حدی Ce و تهی‌شدگی نسبی عناصر با شدت میدان بالا مانند Ti، Nb، Zr و P را نشان داد (شکل ۸). بی‌هنجاری مثبت LILE و LREE و بی‌هنجاری منفی HFSE از ویژگی‌های بارز کمان‌های ماگمایی و فعالیت ماگمایی وابسته با منطقه فرورانش و نشان‌دهنده سیال‌هایی با خاستگاه سنگ‌کروی فرورانده بر غنی‌سازی این عناصر در ماگماست [۵۱، ۵۲].

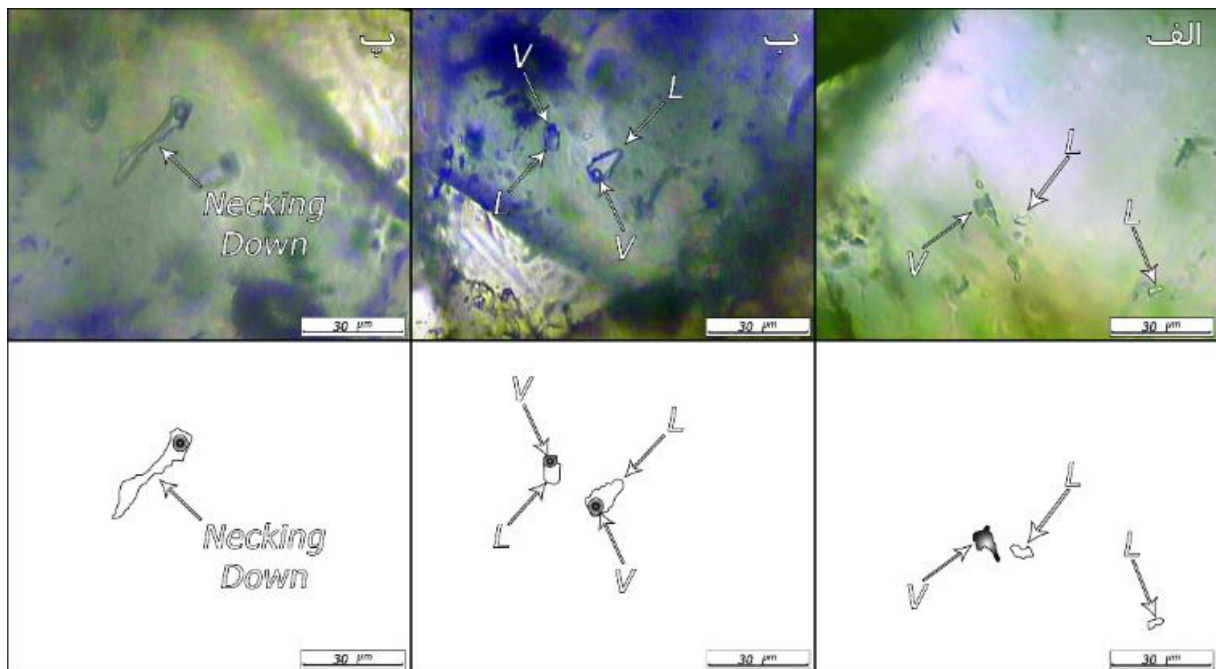
افزایش عنصر K می‌تواند به دلیل ورود آن به شبکه کانی‌هایی مانند فلدسپار قلیایی در مراحل پایانی جدایش ماگمایی در سنگ‌های اسیدی و یا وارد شدن آن در ساختار سریسیت و ایلیت در سنگ‌های دگرسان منطقه باشد (جدول ۱). افزایش عنصر Ba در بیشتر نمونه‌ها دیده می‌شود که با توجه به اندازه یونی مشابه و بار یونی بیشتر، امکان اسیر شدن آن توسط عنصر K در ساختار فلدسپار قلیایی و بیوتیت وجود دارد و می‌تواند در پلاژیوکلاز پذیرفته شود. فراوانی این دو عنصر بیانگر نقش پوسته قاره‌ای در تشکیل ماگمای مولد است [۴۵]. این فراوانی نسبی در واحدهای سنگی منطقه حفظ شده است (شکل ۸). غنی‌شدگی بالای عنصر Pb به دلیل زایش گالن در کانی‌سازی درون‌زاد و حضور عنصر Pb در ساختار سولفید سرب است. بی‌هنجاری مثبت Pb در سنگ‌های منطقه می‌تواند با دگرنهادی گوه گوشته‌ای توسط سیال‌های ناشی از پوسته اقیانوسی فرورونده و یا آرایش ماگما با سنگ‌های پوسته قاره‌ای ارتباط داشته باشد [۵۳]. تهی‌شدگی Sr می‌تواند ناشی



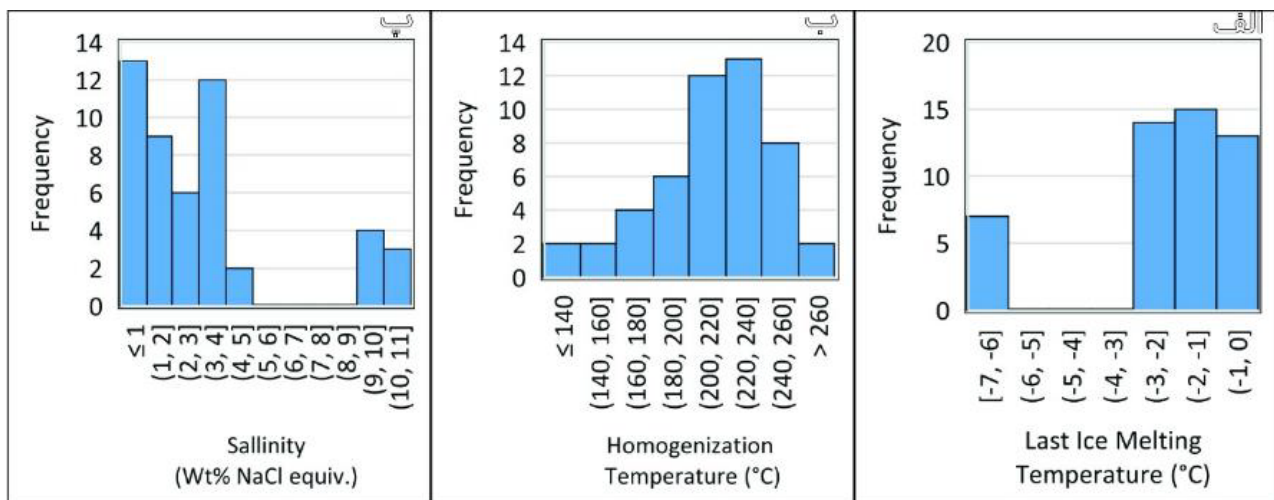
شکل ۸ نمودار عنکبوتی مقادیر عناصر کمیاب بهنجار شده به گوشته اولیه [۵۰] برای نمونه‌های کانسار مس آق‌دره

ریزدماسنجی: در بررسی‌های ریزدماسنجی، نخست انجماد و سپس گرمایش بر ۴۹ میانبار دوفازی غنی از مایع انجام شد. میانبارهای ثانویه کاذب هرچند، ترکیب شیمیایی و ریزدماسنجی مشابه میانبارهای اولیه از خود نشان می‌دهند [۶۸]، ولی بدلیل اندازه بسیار کوچک، بررسی نشدند. میانبارهای سیال برای انجماد کامل تا ۱۰۵- درجه سانتی‌گراد سرد شدند و سپس با گرمایش تدریجی، به ترتیب نخستین دمای ذوب‌شدگی یا نقطه همگدازی (T_e)، دمای ذوب آخرین بلور یخ (T_m) و دمای همگن‌شدگی (T_h) در آن‌ها اندازه‌گیری شد. نقطه همگدازی، رابطه مستیمی با ترکیب نمک موجود در میانبارهای سیال دارد [۶۳] و برای سامانه $H_2O-NaCl$ حدود ۲۰۸- درجه سانتی‌گراد است [۶۹، ۷۰]. این دما در میانبارهای کانسار آق‌دره حدود ۲۱- درجه سانتی‌گراد بوده و بنابراین بسته‌شدن میانبارهای سیال در یک سامانه گرمایی $H_2O-NaCl$ ممکن است. دمای ذوب آخرین بلور یخ بین ۷- تا ۰٫۴- درجه سانتی‌گراد، با بیشترین فراوانی در گستره ۱- تا ۲- درجه سانتی‌گراد (شکل ۱۰ الف) و گستره دمای همگن‌شدگی بین ۱۴۰ تا ۲۷۰ درجه سانتی‌گراد، با بیشترین فراوانی در گستره ۲۰۰ تا ۲۴۰ درجه سانتی‌گراد اندازه‌گیری شد (شکل ۱۰ ب). مقدار شوری بر اساس دمای ذوب آخرین بلور یخ و از رابطه مراجع [۷۱، ۷۲]، بین ۰٫۷ تا ۱۱ درصد وزنی $NaCl$ محاسبه شد (شکل ۱۰ پ). ناپیوستگی در نمودار فراوانی شوری می‌تواند به دلیل محدودیت در تعداد داده‌ها یا اثر دو گونه سیال در منطقه باشد.

سنگ‌نگاری: برای انتخاب نمونه‌های مناسب ریزدماسنجی، مقاطع دوبر صیقلی از رگه‌های کوارتز کانه‌دار منطقه که مهم‌ترین همبر کانی‌زایی و وابسته به سیال کانه‌ساز است، تهیه و سنگ‌نگاری شد. بر اساس رده‌بندی مرجع [۶۳-۶۵]، میانبارهای سیال مقاطع مورد بررسی، از نوع تک‌فازی مایع (L؛ شکل ۹ الف)، تک‌فازی بخار (V؛ شکل ۹ الف) و دوفازی غنی از مایع (L+V؛ شکل ۹ ب) هستند و شواهدی از حضور فاز جامد (S) یا دی‌اکسید کربن مایع (L_{CO2}) در میانبارها دیده نشد. فراوانی میانبارهای تک‌فازی مایع بیش از دو نوع دیگر است و بیشتر به صورت انباشتی شناسایی شده‌اند. حضور میانبارهای تک‌فازی مایع، تک‌فازی بخار و دوفازی غنی از مایع در یک رخداد نشان‌دهنده جوشش و سرانجام کانی‌زایی است [۶۶]. در برخی از مقاطع، پدیده باریک‌شدگی دیده شد (شکل ۹ پ) که یک پدیده عمومی در محیط‌های گرمایی است [۶۷] به احتمال بسیار میانبارهای تک‌فازی مایع برآمده از آن بوده‌اند. تقسیم‌شدن میانبارهای بزرگ‌تر به اندازه‌های کوچک‌تر موجب تغییر در ترکیب تک‌تک آن‌ها در مقایسه با میانبار اولیه می‌شود [۳]. از این رو برای ریزدماسنجی و فشارسنجی از میانبارهای تک‌فازی مایع استفاده نشد. میانبارهای غنی از مایع بهترین نوع میانبارها برای ریزدماسنجی هستند. فراوانی این میانبارها به صورت منفرد و انباشتی در مقاطع مورد بررسی مناسب بوده است. اندازه میانبارهای غنی از مایع بین ۵ تا ۳۶ میکرون متغیر است، اما اغلب کوچکتر از ۲۰ میکرون هستند (شکل ۹). میانبارها در مقاطع مورد بررسی به ترتیب فراوانی به شکل‌های نامنظم میله‌ای، پهن، کروی و بیضوی دیده شدند.



شکل ۹ تصاویر میکروسکوپی میانبرهای سیال در کانی کوارتز کانسار آق‌دره: الف) تک‌فازی مایع (L) و تک‌فازی گازی (V). ب) دو فازی غنی از مایع (L+V) و پ) پدیده باریک‌شدگی.



شکل ۱۰ نمودارهای ستونی ریزدماسنجی میانبرهای سیال کانسار آق‌دره الف) فراوانی دمای ذوب آخرین بلور یخ، ب) فراوانی دمای همگن‌شدگی و پ) فراوانی شوری بر اساس مراجع [۷۱، ۷۲]

در روند تکامل سیال‌های گرمایی [۷۴] در کانسار آق‌دره، پدیده جوشش و سردشدگی رخ داده است (شکل ۱۱ ب). رخداد جوشش و کاهش دما سبب ته‌نشست فلزات از لیگاندهای بی‌سولفیدی می‌شوند [۷۵]. در سامانه‌های فراگرمایی، فلزات توسط لیگاندهای بی‌سولفیدی [۷۶] و کلروری [۷۷، ۷۸] حمل می‌شوند و جوشش و آمیختگی سیال

خاستگاه کانسار: کانه‌سازی با عواملی چون دما، فشار، pH و اثر آب‌های جوی کنترل می‌شود [۷۳]. شرایط کانه‌زایی و شباهت-های کانسار منطقه با سایر کانسارهای معروف دنیا، با قرار دادن داده‌های شوری و دمای همگن‌شدگی در نمودار مرجع [۷۴]، مقایسه شد. بر این اساس، کانسار آق‌دره در گروه کانسارهای فراگرمایی قرار دارد (شکل ۱۱ الف).

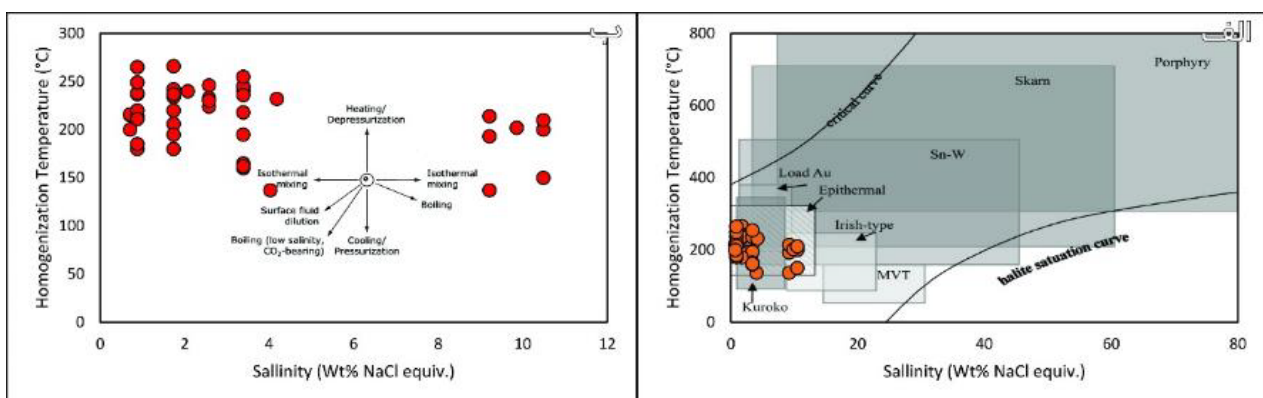
کرد [۷۴]. با استفاده از خطوط هم‌چگال در نمودار شوری-دمای همگن‌شدگی [۸۱]، چگالی سیال میانبرهای کانسار آق‌دره در گستره ۰/۷ تا ۱ گرم بر سانتی‌متر مکعب برآورد شد (شکل ۱۲ الف).

برای محاسبه فشار در شرایط رخداد جوشش، نیازی به تصحیح دما نیست و دمای همگن‌شدگی برابر با دمای تشکیل کانسار است [۸۲]. بر این اساس، بیشینه فشار سیال با استفاده از دمای همگن‌شدگی و نمودار مرجع [۸۳]، برابر با ۷۵ بار محاسبه شده است (شکل ۱۲ ب) و همه میانبرهای سیال زیر منحنی اشباع NaCl قرار دارند.

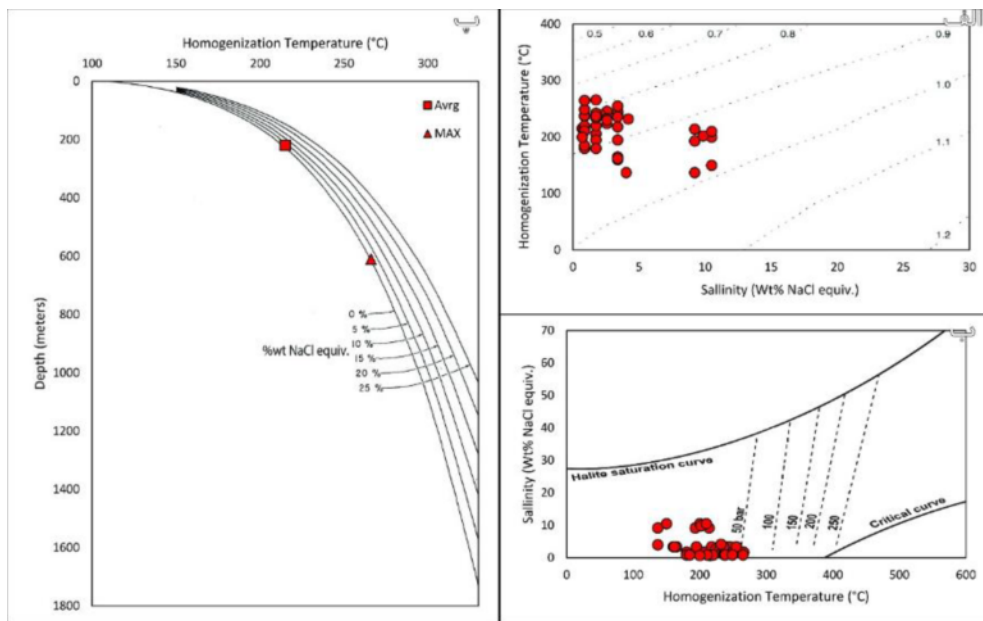
ژرفای تشکیل کانسارهای فراگرمایی براساس حضور میانبرهای هم‌زیست غنی از مایع و غنی از بخار و با استفاده از ویژگی‌های تعادل فازی (دمای همگن‌شدگی با منحنی عمق) برآورد می‌شود. با توجه به وجود شواهد جوشش، برای تعیین ژرفا از میانگین دمای همگن‌شدگی و شوری استفاده شد [۸۴]، [۸۵]. با قرار دادن این مقادیر بر نمودار مرجع [۸۶]، متوسط به‌دام افتادن سیال کانه‌ساز حدود ۲۵۰ متر و بیشینه ژرفای آن حدود ۶۵۰ متر به دست آمد (شکل ۱۲ پ). این یافته با عمق کانسارهای فراگرمایی که به‌طور معمول کمتر از ۱ کیلومتر است همخوانی دارد. کانسارهای نوع فراگرمایی اغلب در نزدیکی سطح زمین و در دمای کمتر از ۳۰۰ درجه سانتی‌گراد شکل می‌گیرند [۸۷].

دو عامل مهم تهنشینی کانی‌های فلزی در این سامانه‌ها هستند [۷۹، ۵]. در اثر واکنش سیال کانه‌ساز با فلدسپارها، pH محلول افزایش یافته و با مصرف H^+ ، فلزات قلیایی و قلیایی خاکی به درون سیال آزاد می‌شوند. همچنین، غلظت سیال در اثر ورود آب‌های جوی کاهش یافته و در نتیجه‌ی واکنش Ca^{2+} اضافه‌شده به سیال با Cl، سولفیدهای فلزی از لیگاند کلروری تهنشین می‌شوند [۷۵] و این فرایند نسبت به کاهش دما نقش مهمتری در تهنشست کانسار دارد. در فرایند رقیق‌شدگی و سرد شدن سیال کانه‌ساز کانسار آق‌دره، به احتمال بسیار تکامل پس‌رونده‌ای رخ داده که در آن، فاز اولیه‌ی دمای بالا با گذشت زمان، پیشرفت واکنش‌ها و افزایش رقیق‌شدگی بر اثر نفوذ آب‌های فرورو، با کاهش دما همراه شده [۸۰] و نهشت مواد معدنی را در پی داشته است. فرایند جوشش با ویژگی‌هایی مانند هم‌زیستی میانبرهای تک‌فازی بخار و میانبرهای غنی از مایع، همگن‌شدگی برخی از میانبرها به فاز بخار، نبود مواد فرار در میانبرها و نهشت بلورهای درشت کوارتز با بافت حفره‌ای در رگه‌های سیلیسی، در کانسار آق‌دره قابل تشخیص است. روند تکامل سیال کانه‌ساز و گسستگی نمودار فراوانی شوری تبلور دو دسته از کانی‌های کوارتز مربوط به دو نسل از سیال کانه‌ساز را در منطقه توجیه می‌کند.

برآورد چگالی، فشار و ژرفا: با ترکیب داده‌های دمای همگن‌شدگی و مقدار شوری میانبرها بر نمودار خطوط هم‌چگال، می‌توان چگالی سیال را بدون توجه به شرایط به‌دام افتادن آن تعیین



شکل ۱۱ الف) نمودار تعیین خاستگاه ژنز کانسار آق‌دره بر اساس شوری و دمای همگن‌شدگی میانبرهای سیال [۷۴]، ب) نمودار فرایند تکامل سیال کانه‌ساز کانسار آق‌دره بر اساس روند معمول شوری و دمای همگن‌شدگی [۷۴].



شکل ۱۲ نمودارهای تعیین چگالی، فشار و ژرفا برای میانبرهای سیال کانسار آق‌دره: الف) نمودار شوری-دمای همگن‌شدگی با خطوط هم چگال برای تعیین چگالی سیال به دام‌افتاده در میانبرها [۸۱]، ب) نمودار دمای همگن‌شدگی-شوری به همراه منحنی‌های بحرانی و خطوط هم‌فشار برای تعیین فشار سیال [۸۳]، پ) نمودار دمای همگن‌شدگی-ژرفا به همراه خطوط هم شوری برای تعیین ژرفای به تله افتادن میانبرهای سیال [۸۶].

درختی با روش خوشه‌بندی ورد نیز ارتباط زایشی جفت عناصر مس - آهن و سرب - روی را نشان داد. بی‌هنجاری‌های مثبت LILE، LREE ها و بی‌هنجاری‌های منفی HFSE ها، به ویژه افزایش عناصر Ba, K, Pb و تهی‌شدگی عناصر Nb و Ti نشان می‌دهد که پوسته قاره‌ای در تشکیل ماگمای مولد سنگ‌های منطقه در یک محیط فرورانشی نقش داشته و این ماگما پس از آرایش با پوسته قاره‌ای، سنگ‌های آتشفشانی با طبیعت آهکی-قلیایی را ایجاد نموده است.

ترکیب یافته‌های میانبرهای سیال، شامل شوری، دمای همگن‌شدگی و ژرفای تشکیل میانبرها، با شواهد صحرایی و نتایج آزمایشگاهی از جمله کانه‌سازی در سنگ میزبان آتشفشانی، در برگرفته شدن کانسار توسط سنگ‌های آتشفشانی نیمه‌عمیق، بافت جانشینی و پُرکننده فضاهای خالی و ساخت کانه‌ها، گسترده‌های دگرسانی، توالی همبری، انباشت عناصر فلزی و نبود کانی‌های دمای بالا و همچنین مقایسه با سایر کانسارهای مشابه (جدول ۵) [۸۸، ۸۹]، کانسار مس آق‌دره را در رده کانسارهای فراگرمایی نوع رگه‌ای قرار می‌دهد. سامانه‌های فراگرمایی در مناطق فرورانش می‌توانند ارتباط زایشی نزدیکی با سامانه‌های مس پورفیری داشته باشند [۹۰-۹۲] و منطقه مورد بررسی به احتمال بسیار بر یک کانسار پورفیری پنهان قرار دارد.

برداشت

اصلی‌ترین واحدهای سنگ‌شناسی در کانسار مس آق‌دره واحدهای سنگی آندزیتی، آندزی‌بازالتی، سینیتی و توف‌هایی با سن ائوسن و معادل سازند کرج هستند که از نظر سری ماگمایی در گستره نیمه‌قلیایی قرار دارند. آندزیت‌ها و رگه‌های سیلیسی منتشر شده در توف‌های منطقه با کانه‌زایی همراه بوده و فضاهای خالی اغلب رگه‌ها با کانی‌های سولفیدی پُر شده‌اند. ورود محلول‌های گرمایی به این رگه‌ها و نفوذ توده‌های آتشفشانی، دگرسانی‌های گسترده سیلیسی و هاله‌های دگرسانی آرژلیک، آلونیتی و پروپلیتیک را در منطقه ایجاد کرده است. در این شرایط، دو مرحله کانی‌زایی درون‌زاد و برون‌زاد رخ داده که طی آن‌ها، کانی‌های اصلی کالکوپیریت، پیریت و گالن، کانی‌های ثانویه مالاکیت، آزوریت و گوتیت، کانی‌های باطله کوآتز، باریت و کلسیت و همچنین طلا و نقره نهشته شده‌اند. کالکوپیریت و مالاکیت از فراوان‌ترین کانی‌های مس‌دار منطقه هستند. تشکیل کانی‌های کربناتی (مالاکیت و آزوریت)، وجود پهنه برون‌زاد اکسیدی و حضور کالکوپیریت‌های هوازدهی در حال تجزیه به کانی‌های اکسید آهن آبدار، وجود پهنه برون‌زاد سولفیدی ثانویه را تایید می‌کنند. هم‌برزایی کالکوپیریت و پیریت با نتایج تحلیل خوشه‌ای همخوانی دارد و بر این اساس، خاستگاه عناصر مس و آهن مشابه تشخیص داده شد. بر پایه ماتریس همبستگی پیرسون، در منطقه، سرب و روی بیشترین همبستگی با سطح اطمینان ۹۹٪ را داشته‌اند. نمودار

جدول ۵ مقایسه کانسار آق‌دره با کانسارهای فراگرمایی نوع رگه‌ای [۸۸، ۸۹].

ویژگی	کانسارهای فراگرمایی رگه‌ای	کانسار مس آق‌دره
موقعیت زمین‌ساختی	لبه صفحه‌های همگرا	پهنه برخورد کرانه قاره و کمان قاره‌ای
سنگ میزبان	آندزیت، ریولیت، توف، داسیت	آندزیت، آندزیت بازالت، سینیت، توف
سن تشکیل	بیشتر سنوزوئیک	ائوسن
عمق تشکیل	کمتر از ۴ کیلومتر	کمتر از ۱ کیلومتر
دگرسانی‌های رایج	سرسیستی، آدولاریا و آرژیلیک متوسط	سیلیسی، آرژیلیک، پروپلیتیک، سرسیستی و آلونیتی
بافت	پُرکننده فضای خالی و رگه‌ای	اغلب پُرکننده فضای خالی
کانی‌شناسی	اسفالریت، گالن، کالکوپیریت و پیریت	کالکوپیریت، پیریت، گالن، مالاکیت، آزوریت، گوتیت
فلزات اصلی	Pb-Zn-Cu (Au±Ag)	Cu-Pb-Zn-Fe-Au-Ag
خاستگاه سیال‌های کانه‌ساز	آب‌های جوی و ماگمایی	آب‌های جوی و ماگمایی

قدردانی

این پژوهش با حمایت‌های معاونت پژوهشی دانشگاه ارومیه و پشتیبانی مالی سازمان توسعه و نوسازی معادن و صنایع معدنی ایران انجام شده است که از همکاری‌های همه‌جانبه این دو سازمان تشکر و قدردانی می‌شود. همچنین نگارندگان از نظرها و پیشنهادهای ارزنده و سازنده‌ی داوران محترم مجله سپاسگزاری می‌نمایند.

مراجع

- [7] Farid-Asl V., "Study of the genesis of Mari copper deposit (north of Zanjan) with special emphasis on enrichment and supergene oxidation processes", M.Sc. thesis, Tabriz university (2012) 121 p.
- [8] Hosseyny-Ekhtiarabady M., Babakhani A.R., Sahandi M.R., Moosavi E., "Abhar 1:100000 geological sheet", Geological Survey of Iran (2017).
- [9] Rahmani A., "Economic Geology Survey of Khalifa-Lu Deposition (North of Khorramdareh, Zanjan Province)" M.Sc. thesis, Tabriz university (2015) 182 p.
- [10] Tadayon Eslami A., "Evaluation of mineral abilities of Zanjan quadrangle map 1:250000", Geological Survey of Iran Report (1990) 76 p.
- [11] Hirayama K., Samimi M., Zahedi M., Hushmandzadeh A.M., "Geology of Tarom district western part (Zanjan area) geology Survey of Iran Rep", Geological Survey of Iran Report 8 (1966) 31 p.
- [12] Bazin D., Hubner H., "Copper deposits in Iran", Geological Survey of Iran Report 15 (1969) 232 p.
- [13] Iwao, S.H., Hushmand-zadeh A., "Stratigraphy and petrology of the low-grade regionally metamorphosed rocks of the Eocene Formation in the Alborz Range, North of Tehran, Iran", The Journal of the Japanese Association of Mineralogists, Petrologists and Economic Geologists 65:6 (1971) 265-285.
- [14] Tadayon Eslami A., "Systematic mineral exploration report in Zanjan quadrangle map in Chal-Kuhian area", Geological Survey of Iran (1984) 1-45.
- [15] Peyrovan H., "Geochemical survey of alteration zones of Tarom region", PhD thesis, Islamic Azad University Science and Research Branch (2003) 50-160.
- [16] Peyrovan H., "Mineralogical and geochemical classification of alteration rocks in Tarom area", Proceedings of the 9th Iranian Geological Society Conference (2004) 427-440.
- [1] Khoei N., Qorbani M., Tajbakhsh P., "Copper deposits in Iran", Geological Survey of Iran Press, (1999) 421 p.
- [2] Irannejad M., Salari Rad M., and Mohammadi M.A., "Comparison of Economics of Cementation and Solvent Extraction for Recovery of Copper from Tarom Sofla Oxidized Copper Leach Solutions", Scientific Quarterly Journal Geosciences 66 (2007) 68-73.
- [3] Mirzaei Raini R., Ahmadi A., Mirnejad H., "Mineralogy and fluid inclusion studies in Mahour copper deposit, east of Lut block, Central Iran", Iranian Journal of Crystallography and Mineralogy 20:2 (2012) 307-318.
- [4] Feyzi F., Arian M., "The Role of Building Controllers in the Formation of Copper Ore Deposits on Saein Qaleh 1:50000 Map", Journal of Basic Sciences Islamic Azad University 81 (2012) 1-10.
- [5] Zamanian H., Rahmani Sh., Jannessary M.R., Zareii Sahamiieh R., Borna B., "Ore-genesis study of The Cu-Au vein-type deposit in The Tarom-Granitoid (North Zanjan) based on mineralogical, geochemical and fluid inclusion evidences", Scientific Quarterly Journal Geosciences 98 (2016) 255-282.
- [6] Bazargani-Guilani K., Parchakani M., "Metallogenic Properties of Barik-Ab Pb-Zn (Cu) Ore Deposit with Acidic Tuff Host-Rock, west Central Alborz, Northwest of Iran", Scientific Quarterly Journal Geosciences 78 (2011) 97-104.

- intrusive bodies of the region*", the fourth conference of the Iranian Geological Society, Tabriz (2000), 3p.
- [30] Riou R., Dupuy C., Dostal J., "Geochemistry of coexisting alkaline and calc-alkaline volcanic rocks from northern Azerbaijan (N.W. Iran)", *Volcanology and Geothermal Research* 11 (1981) 253-275.
- [31] Sillitoe H.R., Hedenquist J.W., "Linkage between volcanotectonic settings, ore-fluid compositions, and epithermal precious-metal deposits", *Society of Economic Geologist, Special Publication* 10 (2003) 315-343.
- [32] Clark G.C., Davis R.G., "Explanatory text of the Bandar-e-Pahlavi quadrangle map 1:250000", *Geological Survey of Iran* (1975) 198 p.
- [33] Eftekharijad J., Hajiyan J., Hirayama D.K., Hoshmandzadeh A., Nabavi M.H., Samimi M., Stoklin Y., Zahedi M., Alavi Naeini M., "Khodbandeh-Soltaniyeh 1:100000 geological sheet", *Geological Survey of Iran* (1995).
- [34] Ganji A.R., "Mineralogical investigation of hydrothermal alterations in the middle part of Tarom Mountains – Northwest of Iran", *Iranian Journal of Crystallography and Mineralogy* 13:1 (2005) 121-133.
- [35] Whitney D.L., Evans B.W., "Abbreviations for names of rock-forming minerals", *American Mineralogist* 95 (2010) 85-187.
- [36] Darvishzadeh A., Asiyabanha A., "The role of pyroclastic rocks in the preferential expansion of hydrothermal alteration in the Abtrash volcanic zone", *Scientific Quarterly Journal Geosciences* 38 (2001) 49-59.
- [37] Hajalilo B., "Tertiary metallogeny in West Alborz-Azərbayjan (Miyaneh-Siahrood) with special attitude toward Hashtjin area", PhD thesis, Shahid Beheshti University (2001) 275 p.
- [38] White N.C., Hedenquist J.W., "Epithermal gold deposits: styles, characteristics and exploration", *SEG Newsletter* 23 (1995) 8-13.
- [39] Shahabpour J., "Economic geology", *Shahid Bahonar University of Kerman* 315 (2011) 547 p.
- [40] Baker T., Bertelli M., Blenkinsop T., Cleverley J.S., McLellan J., Nugus M., Gillen D., "P-T-X conditions of fluids in the Sunrise Dam gold deposit, Western Australia, and implications for the interplay between deformation and fluids", *Economic Geology* 105 (2010) 873-894.
- [41] Pirajno F., "Hydrothermal processes associated with meteorite impacts", *Springer Netherlands* (2009) 759 p.
- [42] Kazempour M., Hidarian Shahri M., Malekzadeh Shafaroudi A., "Mineralization, fluid inclusion and geochemical studies and interpretation of IP/RS data in Freezi prospect area, northeast Iran", *Iranian Journal of*
- [17] Hajalilo B., "Investigation of Pb, Zn and Cu mineralization in Northwestern Zanjan", *Third Annual Conference of the Iranian Geological Society* (2006) 234-240.
- [18] Jahandideh-Kazempour K., "The study of economic geology of the Abbas Abad polymetallic ore deposit (Tarom Sofla, the NW of Qazvin province, Iran)", M.Sc. thesis, Islamic Azad University Lahijan branch (2012) 286p.
- [19] Miranvari A. S., Calagari A., Siahcheshm K., Sohrabi G., "Investigation of genesis and fluid origin in Noghduz gold bearing quartz veins, East Azarbaijan Province, northwest of Iran", *Iranian Journal of Crystallography and Mineralogy* 27 (2019) 551-564.
- [20] Lecumberri-Sanchez P., Steel-MacInnis M., Bodnar R.J., "A numerical model to estimate trapping conditions of fluid inclusions that homogenize by halite disappearance", *Geochim Cosmochim Acta* 92 (2012) 14-22.
- [21] Steele-MacInnis M., Lecumberri-Sanchez P., Bodnar R.J., "HOKIEFLINCS-H₂O-NaCl: A Microsoft Excel spreadsheet for interpreting microthermometric data from fluid inclusions based on the PVTX properties of H₂O-NaCl", *Computer in Geosciences* 49 (2012) 334-337.
- [22] Nabavi M.H., "An introduction to geology of Iran", *Geological Survey of Iran* (1355) 109 p.
- [23] Hosseinzadeh M.R., Maghfouri S., Moayyed M., Rahmani A., "Khalifehlu deposit: high-sulfidation epithermal Cu-Au mineralization in the Tarom magmatic zone, North Khoramdareh", *Scientific Quarterly Journal Geosciences* 99 (2017) 179-194.
- [24] Guest, B., Guest, A., Axen, G., "Late Tertiary tectonic evolution of Northern Iran: A case for simple crustal folding, *Global and Planetary Change*", *Geosphere* 58 (2007) 435-453.
- [25] Stocklin J., "Structural history and tectonics of Iran: a review", *American Association of Petroleum Geologists* 52 (1968) 1229-1258.
- [26] Aghanabati A., "Magmatic Rocks of Iran. Geological Survey of Iran; Scale 1:250000, 1 sheet" *Geological Survey of Iran* (1990).
- [27] Einali M., Alirezai S., Zaccarini F., "Chemistry of magmatic and alteration minerals in the Chahfiruzeh porphyry copper deposit, south Iran: implications for the evolution of the magmas and physicochemical conditions of the ore fluids" *Turkish Journal of Earth Sciences* 23 (2014) 147-165.
- [28] Karei M., Gharib F., "Office-field studies to identify promising ranges of REE's in Zanjan province", *Applied Research Center of Geological Survey of Iran*, (2016) 711 p.
- [29] Moayed M., Valizadeh M., "Petrology and Petrogenesis of the Eocene-Oligocene magmatic band of Tarom region and geobarometric of

- [55] Wilson M., "Igneous Petrogenesis: a global tectonic approach", Unwin Hyman Ltd, London, (1989) 466 p.
- [56] Hongyan G., Sun M., Yuan C., Xiao W., Zhao G., Zhang L., Wong K., Fuyuan W., "Geochemical, Sr-Nd and Zircon U-Pb-Hf isotopic studies of Late-Subduction", Chemical Geology 266 (2009) 364-398.
- [57] Nagudi N.O., Koberl C. H., Kurat G., "Petrography and geochemistry of the Sing granite, Uganda, and implication for its origin", Journal of African Earth Sciences 35 (2003) 51-59.
- [58] Shang G.K., Satir M., Sieble W., Nasifa E.N., Taubuld H., Liegeoise J.P., Tchoua F.M., "Geochemistry, Rb-Sr and Sm-Nd systematic: case of the Sangmelima region, Ntem complex, southern Cameroon", Journal of African Earth Sciences 40 (2004) 61-79.
- [59] Wu F., Jahn B., Wildec S. A., Lod C. H., Yuie T. F., Lina Q., Gea W., Suna D., "Highly fractionated I-type granites in NE China (II): isotopic geochemistry and implications for crustal growth in the Phanerozoic", Lithos, 67 (2003) 191-204.
- [60] Richards J. P., "High Sr/Y arc magmas and porphyry Cu±Mo±Au deposits: Just add water", Economic Geology 106 (2011) 1075-1081.
- [61] Piranjo F., "Hydrothermal mineral deposits", Springer Verlag (1992).
- [62] Bodnar R.J., Lecumberri-Sanchez P., Moncada D., Steele-MacInnis M., "Fluid Inclusions in Hydrothermal Ore Deposits, In: Holland H.D. and Turekian K.K. (eds.) Treatise on Geochemistry, Second Edition, vol. 13", Elsevier (2014) 119-142.
- [63] Shepherd T. J., Rankin A.H., Alderton D. H.M., "A practical guide to fluid inclusion studies", Blackie, London (1985).
- [64] Van den Kerkhof A.M., Hein U.F., "Fluid inclusion petrography", Lithos 55 (2001) 4-27.
- [65] Roedder E., "Fluid Inclusions", In: Ribbe PE (Ed) Reviews in Mineralogy, 12, Mineralogical Society of America, Washington DC (1984) 644 p.
- [66] Symons D.T.A., Symons T.B., Sangster D.F., "Paleomagnetism of the society Cliff's dolostone and the age of the Nanisivik zinc deposits, Baffin Island, Canada", Mineralum Deposita 35 (2000) 672-682.
- [67] Bodnar R.J., Reynolds T.J., Kuehn C.A., "Fluid inclusion systematics in epithermal systems", Rev. Economic Geology 2, (1985) 73-97.
- [68] Karimpour M.H., Saadat S., "Applied Economic geology", University of Ferdowsi Mashhad (2006) 536 p. (in Persian)
- [69] Hall D.I., Sterner S.M., Bodnar R.J., "Freezing point depression of NaCl-KCl-H₂O solutions", Economic Geology 93 (1988) 197-202.
- Crystallography and Mineralogy 27 (2), (2019) 265-280.
- [43] Dong G., Morrison G., Jaireth S., "Quartz textures in epithermal veins, Queensland: classification, origin and implication", Economic Geology 90 (1995) 1841-1856.
- [44] Kouhestani H., Ghaderi M., Zaw K., Meffre S., Emami M.H., "Geological setting and timing of the Chah Zard breccia-hosted epithermal gold-silver deposit in the Tethyan belt of Iran", Mineralium Deposita 47 (2012) 425-440.
- [45] Winchester J.A., Floyd P.A., "Geochemical discrimination of different magma series and their differentiation products using immobile elements", Chemical Geology, 20 (1977) 325-343.
- [46] Shervais J.W., "Ti-V plots and the petrogenesis of modern ophiolitic lavas", Earth and Planetary Science Letters 59 (1982) 101-118.
- [47] Jurkovich I., Garasich V., Hrvatović H., "Geochemical characteristics of the barite occurrences in the Palaeozoic complex of south-eastern Bosnia and their relationship to the barite deposits of the mid-Bosnian Schist Mountain", Geologia Croatica 63 (2010) 241-258.
- [48] Noguchi T., Shinjo R., Ito M., Takada J., Oomori T., "Barite geochemistry from hydrothermal chimneys of the Okinawa Trough: insight into chimney formation and fluid/sediment interaction", Journal of Mineralogical and Petrological Sciences 106 (2011) 26-35.
- [49] Salari M.A., Biyabangard H., Bomeri M., Dargahi S., "Petrology and geochemistry of andesitic dykes in the north of Rabor, Kerman province", Journal of Mineralogical and Petrological 19 (2011) 285-296.
- [50] Sun S.S., McDonough W.F., "Chemical and isotopic systematics of oceanic basalts, implications for mantle composition and processes. In: Saunders A.D., Norry A.M., eds., magmatism in ocean basins", Geological Society London Special Publications 42 (1989) 313-345.
- [51] Kuster D., Harms U., "Post-collisional potassic granitoids form the southern and northwestern parts of the late Neoproterozoic East African Orogen: a review", Lithos 45 (1998) 177-195.
- [52] Ulmer P., "Partial melting in the mantle wedge—the role of H₂O in the genesis of mantle-derived 'arc-related' magmas", Physics of the Earth and Planetary Interiors 127 (2001) 215-232.
- [53] Hofmann A. W., "Nb in Hawaiian magmas: constraints on source composition and evolution", Chemical Geology 7 (1986) 17-30.
- [54] Ebrahimi M., Kouhestani H., Mokhtari M. A. A., Feizi M., "Petrology and geochemistry of the Aqkand acidic volcanic rocks and perlites, North of Zanjan", Scientific Quarterly Journal Geosciences 101 (2016) 99-110.

- [82] Roedder E., Bodnar R. J., "Geologic pressure determinations from fluid inclusions studies", Annual Review of Earth and Planetary Sciences 8 (1980) 263-301.
- [83] Ahmad S.N., Rose A.W., "Fluid Inclusions in Porphyry and Skarn Ore at Santa Rita, New Mexico", Economic Geology 75(1980) 229-250.
- [84] Aghajani Marsa S., Emami M. Lotfi M., Gholizadeh k., Ghasemi Siani M., "Source of polymetal epithermal veins at Nikuyeh district (West of Qazvin) based on mineralogy, alteration and fluid inclusion studies", Scientific Quarterly Journal Geosciences 25 (2016) 157-168.
- [85] Ghareisi M., Rasa I., Yazdi M., "Investigation of Mazraeh Skarn mineralization, North of Ahar, with an emphasis on fluid inclusion studies", Iranian Journal of Crystallography and Mineralogy 26:1 (2018) 229-244.
- [86] Haas J.L., "The Effect of Salinity on the Maximum Thermal Gradient of a Hydrothermal System at Hydrostatic Pressure" Economic Geology 66 (1971) 940-946.
- [87] Hedenquist J.W., "Mineralization associated with volcanic-related hydrothermal systems in the Circum-Pacific basin", In: Hom, M.K., Editor. Transactions of the Fourth Circum-Pacific Energy and Mineral Resources Conference, American Association of Petroleum Geologists, Tulsa, (1987) 513-524.
- [88] Hedenquist J.W., Arribas A.R., Gonzalez-Urien E., "Exploration for epithermal gold deposits. In: Hagemann, S. G., Brown, P. E., (Eds). Gold in 2000". Reviews in Economic Geology 13 (2000) 245-277.
- [89] Bartwaite R.L., Simpson M.P., Faure K., "Telescoped porphyry Cu-Mo-Au mineralization, advanced argillic alteration and quartz sulphide gold anhydrite veins in the Thames District, New Zealand" Mineralium Deposita 36 (2001) 623-640.
- [90] Kolb J., Hagemann S., "Structural control of low-sulfidation epithermal gold mineralization in the Rosario-Bunawan district, east Mindanao ridge, Philippines", Mineralium Deposits 44 (2009) 795-815.
- [91] Richards J.P., "Postsubduction porphyry Cu-Au and epithermal Au deposits: Products of remelting of subduction-modified lithosphere", Geology 37 (2009) 247-250.
- [92] Richards J.P., Spell T., Rameh E., Raziq A., Fletcher T., "High Sr/Y magmas reflect arc maturity, high magmatic water content, and porphyry Cu ± Mo ± Au potential: examples from the Tethyan arcs of central and eastern Iran and western Pakistan", Economic Geology 107 (2012) 295-332
- [70] Robb L., "Introduction to ore forming processes", Blackwell publishing. British Library (2005).
- [71] Bodnar R. J., "Revised equation and table for determining the freezing point depression of H₂O-NaCl solution", Geochimica, et Cosmochimica Acta 57 (1993) 683-684.
- [72] Bodnary R.H., Vityk M.O., "Interpretation of microthermometric data for H₂O-NaCl fluid inclusion, in De Vivo, B., and Frezootti, M.L., eds., Fluid inclusion in minerals: Methods and applications: International mineralogical association, Short course of the working group", Inclusions in minerals (1994) 117-130.
- [73] Sorby H., "On the microscopic structure of crystals indicating the origin of minerals and rocks", Journal of Geological Society, London (1980).
- [74] Wilkinson J. J., "Fluid inclusions in hydrothermal ore deposits", Lithos 55 (2001) 229-272.
- [75] Mehrabi B., Ghasemi Siyani M., "Mineralogy and economic geology of Cheshmeh Hafez polymetal deposit, Semnan Province, Iran ", Journal of Economic Geology 2 (2010) 1-20.
- [76] Benning L.G., Seward T.M., "Hydrosulfide complexing of Au in hydrothermal solutions from 150 to 400 °C and 500 to 1500 bars", Geochimica, et. Cosmochimica Acta, 60 (1996) 1849-1871.
- [77] Seward T.M., Barnes H.L., "Metal transport by hydrothermal ore fluids", in Barnes, H.L., ed., Geochemistry of hydrothermal ore deposits. New York, John Wiley and Sons (1977) 435-486.
- [78] Palyanaova G., "Physicochemistry modeling of the coupled behaviour of gold and silver in hydrothermal processes, gold fineness, Au/Ag ratios and their possible implication", Chemical Geology, 255 (2008) 399-413.
- [79] Giggenbach W.F., "The origin and evolution of fluids in magmatic-hydrothermal systems", in Barnez, H.L., Geochemistry of hydrothermal ore deposits, 3rd ed., New York, wiley Interscience (1997) 737-796.
- [80] Rossetti P., Colombo F., "Adularia-sericite gold deposits of Marmato (Caldas, Colombia): field and petrographic data", in: McCaffrey, K.J.W., Lonergan, I., Wilkinson, J.J., Editors. Fractures, Fluid Flow and Mineralization Geological Society of London, Special Publication 155 (1999).
- [81] Zhang Y.G., Frantz J.D., "Determination of the homogenization temperatures and densities of supercritical fluids in the system NaCl-KCl-CaCl₂-H₂O using synthetic fluid inclusions", Chemical Geology 64 (1987) 335-350.